

LATVIJAS UNIVERSITĀTE  
FIZIKAS UN MATEMĀTIKAS FAKULTĀTE

**Andris Fedotovs**

**Radiācijas defektu EPR fluorīdu  
kristālos un oksifluorīdu stikla  
keramikā**

Promocijas darba kopsavilkums doktora grāda iegūšanai fizikā  
Apakšnozarē: cietvielu fizika

Rīga, 2008

**Promocijas darbs izstrādāts** Latvijas Universitātes Cietvielu fizikas institūtā laika posmā no 2004. gada līdz 2008. gadam.

**Darba raksturs:** Disertācija.

**Darba zinātniskais vadītājs:**

Dr. habil. phys. ULDIS ROGULIS, asoc. prof., vadošais pētnieks Latvijas Universitātes Cietvielu fizikas institūtā.

**Darba Recenzenti:**

1. ANDREJS SILINŠ; Dr. habil. phys., profesors, Latvijas Universitāte,
2. JURIJS DEHTJARS; Dr. habil. phys., profesors, Rīgas Tehniskā Universitāte,
3. JURIS PURĀNS; Dr. habil. phys., vadošais pētnieks, Latvijas Universitātes cietvielu fizikas Institūts.

**Darba aizstāvēšana** notiks Latvijas Universitātes Fizikas, astronomijas un mehānikas zinātnu nozares promocijas padomes atklātā sēdē 2008. gada 2. decembrī, pulksten 12:00, Ķengaraga ielā 8, 1. auditorijā.

Ar darbu un tā kopsavilkumu var iepazīties Latvijas Universitātes Bibliotēkā (Kalpaka bulv. 4) un Latvijas Akadēmiskajā Bibliotēkā (Rūpniecības ielā 10).

LU Fizikas, astronomijas un mehānikas zinātnes nozares specializētās promocijas padomes priekšsēdētājs: emer. prof. IVARS TĀLE.

© Latvijas Universitāte, 2008

© Andris Fedotovs, 2008

ISBN 978-9984-45-029-2

# Saturs

<b>1. Ievads</b>	<b>5</b>
1.1. Darba motivācija . . . . .	6
1.2. Darba mērķi un uzdevumi . . . . .	7
<b>2. EPR spektroskopija</b>	<b>9</b>
2.1. Spina Hamiltoniānis, tā parametri un to fizikālā jēga . . . . .	10
2.2. EPR spektru hipersīkstruktūra un tās anizotropija . . . . .	12
2.3. EPR spektru interpretācija . . . . .	14
<b>3. Radiācijas defektu pētījumi</b>	<b>17</b>
3.1. BaF <sub>2</sub> kristālos . . . . .	18
3.2. LiBaF <sub>3</sub> kristālos . . . . .	19
3.3. LiYF <sub>4</sub> kristālos . . . . .	20
3.4. Oksifluorīdu stikla keramikā (OxFGC) . . . . .	21
<b>4. Eksperimentālā metodika</b>	<b>23</b>
4.1. EPR spektrometrs . . . . .	23
4.1.1. Magnētiskā lauka modulācija . . . . .	24
4.1.2. Rentgenapstarošana . . . . .	25
4.2. Pētītie paraugti . . . . .	25
4.3. EPR spektru analīzes metodika . . . . .	26
<b>5. Rezultāti un diskusija</b>	<b>29</b>
5.1. Neregulārā Cd <sup>+</sup> centra pētījumi BaF <sub>2</sub> kristālos . . . . .	29
5.2. F-tipa centru EPR pētījumi LiBaF <sub>3</sub> kristālos . . . . .	34
5.3. Radiācijas defektu EPR pētījumi LiYF <sub>4</sub> kristālos . . . . .	38
5.4. Radiācijas defektu EPR pētījumi OxFGC . . . . .	41

<b>6. Secinājumi un tēzes</b>	<b>45</b>
6.1. Galvenie rezultāti . . . . .	45
6.2. Secinājumi . . . . .	45
6.3. Aizstāvamās tēzes . . . . .	46
6.4. Nobeigums . . . . .	46
<b>Izmantotā literatūra</b>	<b>49</b>
<b>Autora publikāciju saraksts</b>	<b>52</b>
<b>Dalība konferencēs</b>	<b>55</b>

## Anotācija

Darbā ir apkopoti ar elektronu paramagnētiskās rezonances (EPR) spektroskopijas metodi veikti radiācijas defektu struktūras pētījumi fluorīdu kristālos:  $\text{BaF}_2:\text{Cd}^+$ ,  $\text{LiBaF}_3$ ,  $\text{LiYF}_4$  un oksifluorīdu stikla keramikā (OxFGC).

Radiācijas defekti  $\text{LiBaF}_3$ ,  $\text{LiYF}_4$  kristālos un OxFGC tika ierosināti ar rentgena (RTG) stariem pie istabas temperatūras (RT). Radiācijas defekts  $\text{BaF}_2:\text{Cd}^+$  kristālā tika ierosināts ar  $\gamma$  starojumu.

Pētījumu gaitā iegūtie spektru leņķisko atkarību mērījumi ir ļāvuši noteikt radiācijas radīto paramagnētisko centru EPR parametrus un kristalogrāfisko struktūru attiecīgajos materiālos.  $\text{BaF}_2:\text{Cd}^+$  gadījumā novērojamais EPR spektrs ir izskaidrojams ar  $\text{Cd}^+$  piejaukuma apkārtnē esošu fluora vakanci  $V_F$ . Augstas tīrības pakāpes  $\text{LiBaF}_3$  kristālā ir izveidojies F-tipa centrs, kura EPR spektra struktūra ir ļāvusi precizēt  $g$ -tenzora komponenšu vērtības un noteikt hipersīkstruktūras ( $hss$ ) mijiedarbības konstantes  $A_F$  un  $A_{Li}$ . Radiācijas defekta modelis  $\text{LiYF}_4$  kristālā ir F-tipa centrs, kura elektronam ir  $hss$  mijiedarbība ar diviem fluora kodoliem. Tā spektru labi apraksta parametri  $g_{\parallel} = 2.00$ ,  $g_{\perp} = 1.975$  un  $A = 27.85$  MHz. Oksifluorīdu stikla keramikā novērojamais radiācijas defekts pēc mūsu hipotēzes izveidojas  $\text{YF}_3$  kristalītos. Tā struktūra ir izskaidrojama ar apkārtnē esošo 10 fluoru un 4 itrija atomu kodolu izotropisku  $hss$  mijiedarbību.



# 1. nodala

## Ievads

Fluorīdu kristālu scintilatori tiek plaši izmantoti daudzās fundamentālo kā arī pielietojumu zinātņu sfērās. Līdz ar to optisko materiālu īpašību pētniecība ar dažādām spektroskopijas metodēm ir un būs aktuāla. Šādi materiāli dažādās konfigurācijās – gan kā kristāli, gan kā amorfas vielas plaši tiek izmantoti tādās nozarēs kā elektronikā un komunikācijās, kā arī radiācijas uztveršanai un mērišanai, sākot no radioaktīvā starojuma dozimetriem, medicīniskām diagnostikas un vizualizēšanas iekārtām, kas izmanto rentgena un gamma starojumu, līdz pat detektoriem sinhrotronos un kosmosa tehnikā.

Pamatā laba scintilatora īpašības nosaka:

- 1) mazs reakcijas laiks (10 – 100 ns),
- 2) augsts gaismas iznākums ( $>20000$  fotoni uz vienu absorbēto X,  $\gamma$  staru vai citu radioaktīvā starojuma daļiņu),
- 3) liels blīvums  $\rho$ , kā arī liels atomskaitlis Z, kas sekmē efektīvāku  $\gamma$  starojuma uztveršanu.

Katram scintilatora materiālam piemīt savas labās īpašības tā arī negatīvās īpašības. Ideāls scintilatoru materiāls vēl nav sintezēts. Tāpēc katram pielietojumam tiek piemeklēts atbilstošākais materiāls, izvēli pamatojot gan uz materiāla fizikāli-ķīmiskajām īpašībām, gan uz ražošanas izmaksām un izgatavošanas īpatnībām. Tā, piemēram, tādi materiāli kā NaI:Tl, CsI:Tl, CsI:Na, CdWO<sub>4</sub> ir ar ļoti lielu gaismas iznākumu  $\geq 10^4$  fotonī/MeV, taču to dzišanas laiks (kinētika) ir pārāk ilgstošs  $>200$  ns. Savukārt tādiem fluorīdu materiāliem kā BaF<sub>2</sub>, CsF, CeF<sub>3</sub>, CsI dzišanas laiks ir  $\sim 1 - 30$  ns, taču gaismas iznākums ir tikai  $\sim 10^3$  fotonī/MeV [1].

Papildus tām īpašībām, kas materiālam piemīt pašam par sevi, lielu lomu spēlē kristālā izveidojušies defekti. Defekti var veidoties jebkurā no materiāla dzīves etapiem. Tie var ieviesties kā sintezēšanas (kristāla audzēšanas) laikā, tā arī ekspluatācijas laikā, materiālam nemitīgi atrodoties ekstremālos ķīmiskos un intensīva augstas enerģijas jonizējošā

starojuma apstākļos. Kristālā var izveidoties kā struktūras defekti – dislokācijas un starpmezgli, kas var sekmēt materiāla deformāciju, tā arī pašvielas defekti, kas ir lokālas novirzes no kristāla steheometrijas ar starpatomu attālumu kārtu. Šādus defektus dēvē arī par punktveida defektiem. Turpmāk šajā darbā tiks runāts tieši par jonizējošā starojuma inducētiem punktveida defektiem.

Defekti materiālā ievieš savas korekcijas materiāla enerģētisko līmeņu struktūrā. Defekti vielā lielā mērā nosaka virkni kvalitatīvo materiāla īpašību, kā mehāniskās, tā arī optiskās. Kā piemaisījumu, tā pašvielas defektu enerģijas līmeņi var kalpot dažādiem mērķiem, piemēram, reto zemju elementu piejaukumi ir pamatā daudziem lāzeru materiāliem. Taču atsevišķos gadījumos defektu klātbūtne materiālā var būt arī traucējoša.

Pilnīgai izpratnei par defektu struktūru nepieciešams noskaidrot tā elektronisko struktūru un ģeometrisko konfigurāciju, jeb, kā tas ir izvietojies pamatmateriāla struktūrā.

Magnētisko rezonanšu metodes ir struktūrjutīgas metodes un ir piemērotas defekta kristalogrāfiskās struktūras pētišanai, tā kā ir iespējams izmērīt ar to saistītā elektrona magnētiskā momenta – spina mijiedarbību ar apkārtējiem vielas atomu magnētiskajiem momentiem. Elektronu paramagnētiskā rezonanse (EPR) ir viena no visplašāk izmantotajām magnētisko rezonanšu metodēm. Tā ir pielietojama plašam vielu klāstam plašā temperatūru diapazonā.

*Šajā darbā tiek aprakstīti EPR punktveida defektu pētījumi, kuri ir inducēti radiācijas ceļā, fluorīdu kristālu matricās un oksifluorīda stiklā un keramikā.*

## 1.1. Darba motivācija

Darbā pētītie fluorīdu kristāli  $\text{BaF}_2$ ,  $\text{LiBaF}_3$  un  $\text{LiYF}_4$  ir plaši izplatīti scintilatoru materiāli nozarēs, kurās nodarbojas ar augstas enerģijas starojuma uztveršanu un apstrādi [1–3]. Šiem kristāliem ir ļoti labas scintilatora īpašības, un kā jebkuram scintilatoru materiālam ir izvirzītas augstas prasības attiecībā uz tā sastāva tīrību. Dažādi nekontrolētie piejaukumi un struktūras nehomogenitātes var sekmēt dažādu defektu, to skaitā arī krāsu centru veidošanos kristālā.

Pēdējā laikā ir pastiprināta interese par optiskajiem kompozītmateriāliem, kas ir nanozmēru kristāli, kuri pēc noteiktas termiskās apstrādes izveidojas stikla matricā.

Attiecībā uz defektu veidošanos kristālos ļoti būtiska ir šī materiāla tīrība no dažādiem nekontrolētiem piemaisījumiem, kas varētu nelabvēlīgi ietekmēt kristāla spektrālo caurlaidību kādā noteiktā optiskajā diapazonā. Piemēram, fluorīdu gadījumā ļoti izplatīts nekontrolējamais piejaukums ir skābeklis, kurš kristālā iekļūst tā audzēšanas procesā. Lai atbrīvotos no skābekļa piemaisījuma, tiek lietots cits fluorīds, kurš savienojas ar skābekli un pēc tam iztvaiko no maisījuma.

## 1.2. Darba mērķi un uzdevumi

Šī darba mērķis ir izpētīt radiācijas defektu struktūru minētajos fluorīdu kristālu scintilatoru materiālos kā arī oksifluorīdu stikla keramikā. Līdz ar to tika izvirzīti sekojoši darba uzdevumi:

1. Veikt EPR spektru mērījumus  $\text{BaF}_2:\text{Cd}^+$ ,  $\text{LiBaF}_3$ ,  $\text{LiYF}_4$  kristālos un oksifluorīdu stikla keramikā (OxFGC) pēc paraugu apstarošanas ar rentgena stariem.
2. Noteikt radiācijas defektu EPR parametrus.
3. Noskaidrot atbilstošo paramagnētisko centru modeļus.

Darba struktūra ir sekojoša. Literatūras apskatā tiek aplūkoti elektronu paramagnētiskās rezonances pamatprincipi, kā arī tiek sniegti ieskats eksperimentālo pētījumu metodikā. Tālāk seko līdz šim zināmais par ar jonizējošu starojumu ierosinātu defektu pētījumiem kristālos, kā arī līdz šim zināmais par radiācijas defektiem magnētisko rezonānu spektroskopijas kontekstā. Trešajā nodaļā ir aprakstīta mūsu eksperimentos izmantotā eksperimentālā darba iekārtā un eksperimentu gaita. Eksperimentālie rezultāti un to apspriešana tiek veikta ceturtajā nodaļā. Noslēgumā tiek veikti secinājumi un formulētas aizstāvamās tēzes, kā arī tiek sniegti ūdens komentārs par perspektīvām šajā pētniecības jomā.

### Autora ieguldījums

Darbs pilnībā ir veikts Latvijas Universitātes Cietvielu Fizikas Institūtā. Autora veikums bija pilnībā visu eksperimentālo EPR rezultātu iegūšana. Tāpat autors ir veicis visu eksperimentālo rezultātu teorētisko analīzi, veicot EPR spektru modelēšanu ar speciālizētām datorprogrammām.

Darbs ir apspriests Latvijas Universitātes Cietvielu Fizikas Institūta zinātniskajā seminārā 2008. gada 25. februārī.

### Darba zinātniskā novitāte

Darbā veiktie eksperimentālie pētījumi ir ļāvuši identificēt jaunus radiācijas defektus nozīmīgos pielietojumu materiālos – fluorīdu kristālos un oksifluorīdu stikla keramikā. Iegūtie rezultāti ļāvuši noteikt EPR parametrus un interpretēt radiācijas defektu kristalogrāfisko struktūru. Darbā apkopoti pētījumu rezultāti ir izmantojami turpmākām šo un arī citu fluorīdu materiālu pētniecībai un to īpašību uzlabošanai.



## 2. nodaļa

# EPR spektroskopija

EPR ir spektroskopijas nozare, kas pēta pārejas starp atoma elektrona spinu apakšlīmeņiem, kuri sašķelas, uzliecot ārēju magnētisko lauku. Līdzīgi kā optiskajā spektroskopijā, arī EPR spektri ir absorbcijas spektri, tikai šīs pārejas notiek EM vilņu diapazona mikrovilņu rajonā.

EPR spektrs tiek aprakstīts ar trīs galvenajām parametru grupām:

- 1) Sākuma sašķelšanās parametriem (kristāliskā lauka iedarbība) — sīkstruktūras parametri,
- 2)  $g$ -faktoru (Zēmana sašķelšanās magnētiskā lauka iedarbībā),
- 3) hipersīkstruktūras parametriem, kas raksturo nesapārotā elektrona spina mijedarbību ar kodolu magnētiskajiem momentiem.

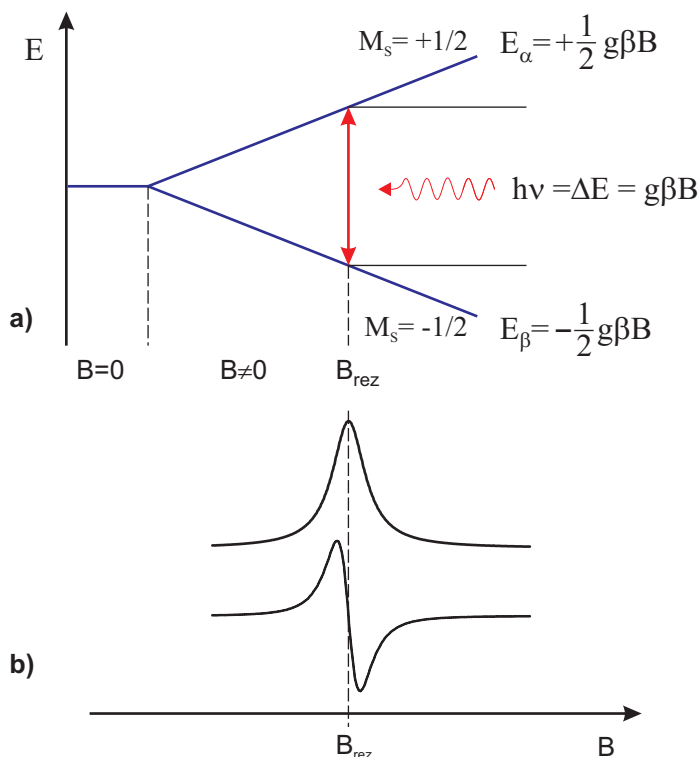
Ārējais magnētiskais lauks izsauc spinu apakšlīmeņu sašķelšanos, kuros pāreju enerģija ir vienāda ar klistrona (mikrovilņu starotāja) izstarotā vilņa enerģiju. Rezonances nosacījums ir sakarība starp mikrovilņu kvantu  $h\nu$  un enerģiju starpību starp spina apakšlīmeņiem  $g\beta B$ :

$$h\nu = g\beta B \quad (2.1)$$

kur  $h$  — Planka konstante,  $\nu$  — frekvence,  $g$  — spektroskopiskās sašķelšanās faktors, kurā tiek ņemts vērā atoma orbitālo un spina momentu ieguldījums,  $\beta$  — Bora magnetons,  $B$  — magnētiskā lauka indukcija.

Šī sakarība parāda, ka:

- 1) Magnētiskais lauks  $B$  izsauc spina apakšlīmeņu parādīšanos un nosaka enerģijas starpību starp tiem.
- 2) Radiovilņu kvants  $h\nu$  izsauc pāreju no zemākā apakšlīmeņa uz augstāko, kas nozīmē absorbcijas ainas parādīšanos (skat. 2.1. attēlu).



**2.1. attēls.** Zēmana efekts un EPR pārejas veidošanās, absorbējoties noteiktas enerģijas mikroviļņu kvantam, magnētiskajam laukam sasniedzot rezonances vērtību.

- 3)  $g$ -faktors nosaka absorbcijas līnijas novietojuma izmaiņu spektrā pie vienādiem  $h\nu$  un  $B$  atkarībā no paramagnētiskā elektrona stāvokļa vielā.

## 2.1. Spina Hamtoniānis, tā parametri un to fizikālā jēga

Vispārīgi paramagnētiskās rezonances mijiedarbības apraksta ar spina Hamtoniāni:

$$\hat{\mathcal{H}} = \hat{H}_0 + \underbrace{\beta \mathbf{S} \hat{g} \mathbf{B}}_{\hat{H}_{EZ}} + \underbrace{\mathbf{S} \hat{D} \mathbf{S}}_{\hat{H}_{SS}} + \underbrace{\mathbf{I} \hat{A} \mathbf{S}}_{\hat{H}_{hss}} + \underbrace{\mathbf{I} \hat{Q} \mathbf{I}}_{\hat{H}_Q} + \underbrace{\beta_N \mathbf{I} g_N \mathbf{B}}_{\hat{H}_{KZ}} \quad (2.2)$$

Katrs spina Hamtoniānī ietilpst ošais loceklis apraksta noteiktas elektrona un kodolu magnētisko momentu mijiedarbību attiecīgajā enerģijas diapazonā:

- 1)  $\hat{H}_{EZ}$  – elektronu Zēmana mijiedarbība,
- 2)  $\hat{H}_{SS}$  – elektronu sīkstruktūras mijiedarbība,
- 3)  $\hat{H}_{hss}$  – elektronu-kodolu hipersīkstruktūras mijiedarbība,

- 4)  $\hat{H}_Q$  – kodolu kvadrupola mijiedarbība,
- 5)  $\hat{H}_{KZ}$  – kodolu Zēmana mijiedarbība.

Spina Hamiltoniānī locekļos ietvertajiem apzīmējumiem ir šāda nozīme:

- $\beta$  – Bora magnetons;
- $\mathbf{S}$  – elektrona spina operators;
- $\hat{g}$  –  $g$ -faktora operators, kurš vispārīgā gadījumā ir tenzors;
- $\mathbf{B}$  – magnētiskā lauka indukcija;
- $\hat{D}$  – kristāliskā lauka (sīkstruktūras) mijiedarbības tenzors;
- $\mathbf{I}$  – kodola spina operators;
- $\hat{A}$  – hipersīkstruktūras mijiedarbības tenzors.

Rezonanses nosacījumā ietilpstotais  $g$ -faktors nosaka absorbcijas līniju novietojumu EPR spektrā. Vispārīgi  $g$ -faktoru raksturo ar diagonālu tenzoru, kas attiecīgās kristāliskā lauka simetrijas gadījumā sastāv no šādām komponentēm:

- 1) kubiskā —  $g$ ,
- 2) aksiālā —  $g_{\parallel}$  un  $g_{\perp}$ ,
- 3) rombiskā —  $g_{xx}$ ,  $g_{yy}$  un  $g_{zz}$ .

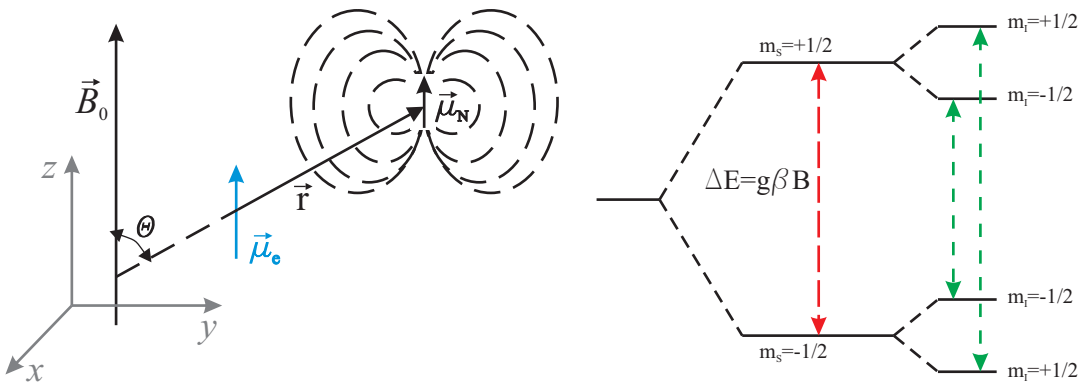
Tādā gadījumā izmanto  $g$  efektīvo vērtību, kas aksiālās simetrijas gadījumā ir šāda:

$$g_{ef}^2 = g_{\parallel}^2 \cos^2 \theta + g_{\perp}^2 \sin^2 \theta \quad (2.3)$$

kur  $\theta$  ir leņķis starp magnētiskā lauka  $\mathbf{B}$  virzienu un defekta simetrijas asi [4].

## 2.2. EPR spektru hipersīkstruktūra un tās anizotropija

Iepriekš aprakstītā spina Hamiltoniāņa trešajam loceklim  $\hat{H}_{HFS}$  ir noteicoša loma EPR spektru atšifrēšanā. Šis loceklis apraksta nesapārotā elektrona spina un tuvumā esošā kodola mijiedarbību. Šādu mijiedarbību sauc par hipersīkstruktūras mijiedarbību, un bieži būtiskāko informāciju par paramagnētiskā centra struktūru sniedz tieši šīs EPR mijiedarbības izpēte.



**2.2. attēls.** Kodola un elektrona spinu hipersīkstruktūras mijiedarbība.  
**2.3. attēls.** EPR līmeņu hipersīkstruktūras sašķelšanās, ja  $I=1/2$ .

Hipersīkstruktūras mijiedarbību var apskatīt kā elektrona un kodola magnētiskā momenta dipola–dipola mijiedarbību (skat. 2.2. attēlu), kuru klasiskā veidā apraksta ar enerģiju:

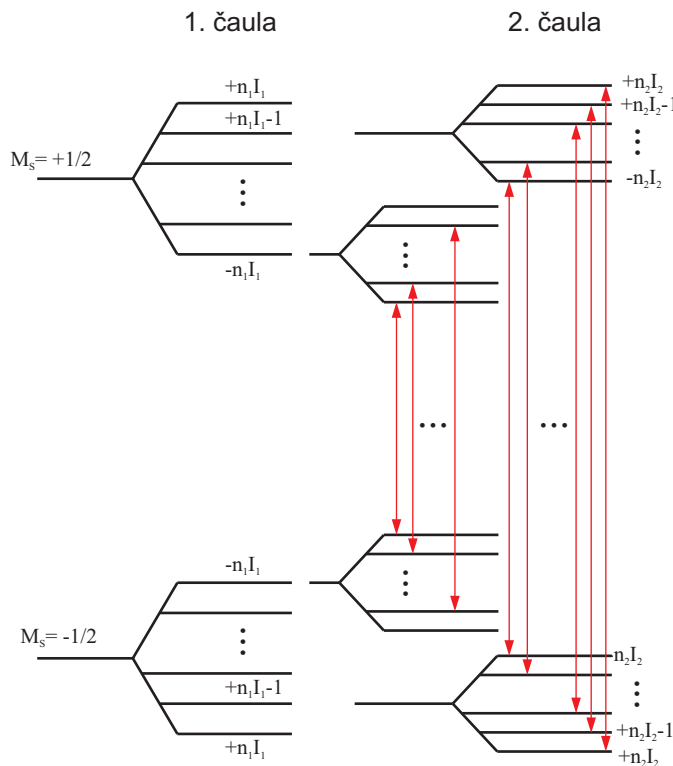
$$W_{dip} = \frac{\mu_e \cdot \mu_N}{r^3} - \frac{3(\mu_e \cdot \mathbf{r})(\mu_N \cdot \mathbf{r})}{r^5} \quad (2.4)$$

kur  $\mathbf{r}$  ir rādiusvektors, kas savieno elektronu un kodolu,  $\mu_e$  un  $\mu_N$  – attiecīgi elektrona un kodola magnētiskie momenti [4]. Nomainot magnētiskos momentus ar attiecīgajiem operatoriem, Šrēdingera vienādojums iegūst šādu izskatu:

$$\hat{H}_{dip} = -g\beta g_N \beta_N \left[ \frac{\hat{\mathbf{S}} \cdot \hat{\mathbf{I}}}{r^3} - \frac{3(\hat{\mathbf{S}} \cdot \mathbf{r})(\hat{\mathbf{I}} \cdot \mathbf{r})}{r^5} \right] \quad (2.5)$$

Šajā gadījumā, izrakstot spinu operatorus pa to telpiskajām komponentēm, var redzēt, ka dipolu mijiedarbība iekļauj sevī mijiedarbību starp tensoriem, kas savukārt nozīmē, ka rezultāts var būt atkarīgs no mijiedarbības virziena attiecībā pret magnētisko lauku anizotropu sistēmu gadījumā. Spina hamiltoniāns gadījumam, kad  $S = 1/2$  un  $I = 1/2$  ir šāds:

$$\hat{\mathcal{H}} = \beta \hat{\mathbf{S}} \cdot \hat{g} \cdot \mathbf{B} + h \hat{\mathbf{S}} \cdot \hat{A} \cdot \hat{\mathbf{I}} - g_N \beta_N \mathbf{B} \cdot \hat{\mathbf{I}} \quad (2.6)$$



**2.4. attēls.** Vispārīga hipersīkstruktūras sašķelšanās shēma, elektrona spinam  $S=1/2$  mijiedarbojoties ar  $n_1$  ekvivalentiem kodolu spiniem  $I_1$  un  $n_2$  ekvivalentiem kodolu spiniem  $I_2$ .

Ja nesapārotā elektrona tuvākajā apkārtnē atrodas vairāki kodoli, kuriem piemīt hipersīkstruktūras mijiedarbība, tad spina hamiltoniānam jāapapraksta katru kodolu ieguldījums šajā mijiedarbībā:

$$\hat{\mathcal{H}} = \beta \hat{\mathbf{S}} \cdot \hat{\mathbf{g}} \cdot \mathbf{B} + \sum_i^n \left( h \hat{\mathbf{S}} \cdot \hat{A}_i \cdot \hat{\mathbf{I}}_i - g_{N_i} \beta_{N_i} \mathbf{B} \cdot \hat{\mathbf{I}}_i \right) \quad (2.7)$$

EPR hipersīkstruktūras pārejas noris starp tiem sašķeltajiem spina apakšlīmeniem, kuriem izpildās izvēles likumi:  $\Delta M_S = \pm 1$  un  $\Delta M_I = 0$ , kā tas ir redzams 2.3. attēlā. Ja paramagnētiskajā centrā ir  $n$  kodoli ar  $I = 1/2$ , tad kopējais pāreju skaits ir

$$N = (2 \cdot I + 1)^n \quad (2.8)$$

Hipersīkstruktūras konstanti  $A$  parasti izsaka megahercos (vai militeslās), un fizikāli tā nosaka hipersīkstruktūras mijiedarbes enerģiju starp elektronu un kodolu. Dažādos kristalogrāfiskos virzienos tā var būt atšķirīga. Tādā gadījumā šī konstante tiek aprakstīta ar diagonālu tensoru:

$$\hat{A} = \begin{pmatrix} A_{xx} & 0 & 0 \\ 0 & A_{yy} & 0 \\ 0 & 0 & A_{zz} \end{pmatrix} \quad (2.9)$$

Paramagnētiskā centra aksiālas simetrijas gadījumā kristālus orientē tā, lai viens no tā galvenajiem kristalogrāfiskajiem virzieniem ([100], [110] vai [111]) būtu paralēls magnētiskajam laukam. Tādā gadījumā hipersīkstruktūras mijiedarbības tenzora izskats ir šāds:

$$\hat{A} = \begin{pmatrix} A_{\perp} & 0 & 0 \\ 0 & A_{\perp} & 0 \\ 0 & 0 & A_{\parallel} \end{pmatrix} \quad (2.10)$$

kur  $A_{\perp}$  – mijiedarbes konstantes vērtība komponentei, kas ir perpendikulāra magnētiskajam laukam un  $A_{\parallel}$  – komponente, kas ir paralēla magnētiskajam laukam. Citām orientācijām izmanto  $A$  efektīvo vērtību, ko aprēķina sekojoši:

$$A_{eff}^2 = A_{\parallel}^2 \cos^2 \theta + A_{\perp}^2 \sin^2 \theta \quad (2.11)$$

Hipersīkstruktūras mijiedarbības tenzoru var aprakstīt arī kā sakarību starp tā izotropo daļu  $a$  un anizotropo daļu  $b$  [4]:

$$a + \begin{pmatrix} -b & 0 & 0 \\ 0 & -b & 0 \\ 0 & 0 & -2b \end{pmatrix} = \begin{pmatrix} A_{\perp} & 0 & 0 \\ 0 & A_{\perp} & 0 \\ 0 & 0 & A_{\parallel} \end{pmatrix} \quad (2.12)$$

vai  $A_{\parallel} = a + 2b$  un  $A_{\perp} = a - b$ .

## 2.3. EPR spektru interpretācija

Pamatlietas, kas sniedz informāciju par paramagnētisko centru ir līniju skaits un to intensitāšu sadalījums. No līniju skaita var spriest, cik daudz un kādi spini atrodas paramagnētiskajā centrā, kā arī to, kāda ir šī centra struktūra. Būtisks faktors ir hipersīkstruktūras konstantes vērtība. Tā raksturo nesapārotā elektrona un kodola mijiedarbību. Spektrā tas izpaužas kā attālums starp hipersīkstruktūras līnijām.

Vispārīgi  $n$  kodoli ar spinu  $I$  spektrā dod  $k = 2nI + 1$  līnijas. Ja gadījumā sistēmā ir kodoli ar atšķirīgiem spiniem, tad līniju skaits ir

$$n = \prod_i (2n_i I_i + 1) \quad (2.13)$$

kur  $n_i$  — attiecīgās ekvivalento kodolu grupā ietilpst ošo kodolu skaits [4].

Tā kā EPR hipersīkstruktūras pārejas noris tikai starp enerģijas līmeniem ar vienādu  $M_I$ , kā to paredz izvēles likumi, ir viegli ieraudzīt, ka spektra novērojamām līnijām piemīt

<i>n</i>
0
1
2
3
4
5
6
7

**2.5. attēls.** EPR superhipersīkstruktūras spektrāllīniju intensitāšu sadalījums atkarībā no apkārtesošo kodolu skaita *n*.

binomiāls intensitāšu sadalījums ar līniju intensitāšu attiecībām, kā parādīts 2.5. attēlā. Līniju intensitātes ir atkarīgas no pāreju skaita noteiktajā enerģijas diapazonā, tāpēc rezultējošais spektrs ir interpretējams kā visu iespējamo pāreju spektru superpozīcija. Elektrona spina enerģētisko līmeņu *hss* sašķelšanās shēma ir parādīta 2.4. attēlā.

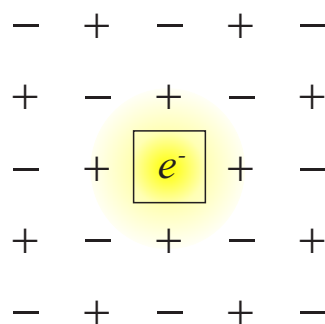


### 3. nodaļa

## Radiācijas defektu pētījumi

Dažādu materiālu un jonizējošā starojuma mijiedarbības izpēte ir viena no fundamentālās un pielietojumu zinātnes pamatdisciplīnām. Atrodoties šāda starojuma ietekmē, materiālā var rasties dažādas struktūras izmaiņas, kas ne vienmēr ir vēlamas. Tāpēc svarīgi ir paredzēt, kas norisināsies ar materiālu, tam noteiktu laiku atrodoties intensīva jonizējošā starojuma apstākļos. Īpaši svarīgi tas ir kristālikiem un keramiskiem materiāliem, kurus izmanto radioaktīvā starojuma pētījumos kā dozimetrus un scintilatorus vai arī lāzeru tehnikā kā aktīvās vides materiālus. Šajā darbā pētītie kristāli tiek plaši izmantoti minētajās sfērās, un turpmākajās nodaļās tiks sniegts ūss pārskats par līdzšinējiem radiācijas defektu pētījumiem šajos materiālos.

Starojumam mijiedarbojoties ar materiālu, daļa tā enerģijas aiziet kristāla elektro-niskās apakšsistēmas ierosināšanā. Šī enerģijas daļa spēlē ļoti būtisku lomu defektu veidošanās procesā. Tas noskaidrojās, kad tika novērota platzonu materiālu “krāsošanās”, jeb tā saucamā krāsu jeb F-centru veidošanās, tos apstarojot ar *mīksto* rentgenstarojumu (10-100 keV). F-centrs būtībā ir anjona vakancē lokalizējies elektrons (skat. 3.1. attēlu). Šādu defektu veidošanās procesi sārmu halogenīdu kristālos tika noskaidroti jau pagājušā gadsimta piecdesmitajos gados [5].



3.1. attēls. *F*-tipa centra struktūra sārmu halogenīdu kristālos.

### 3.1. $\text{BaF}_2$ kristālos

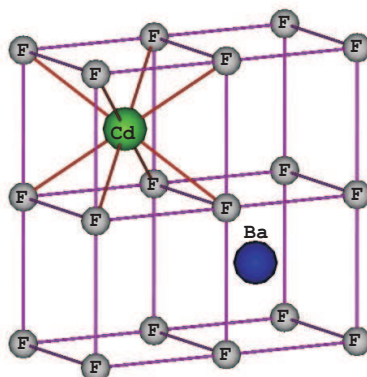
Kadmija piemaisījuma defekts  $\text{BaF}_2$  kristālos ar optiskajām un magnētisko rezonanšu metodēm līdz šim ir pētīts darbos [6–8] kā arī [9]. Darbā [6] tika noteikti  $\text{Cd}^+$  piejaukumdefekta *regulārās struktūras* EPR parametri  $\text{CaF}_2$ ,  $\text{SrF}_2$  un  $\text{BaF}_2$  kristālos. Šajā konfigurācijā kadmija jons  $\text{Cd}^{2+}$  aizvieto attiecīgo katjonu, un tā tuvākajā apkārtnē atrodas astoņi fluora atomi. Pēc apstarošanas ar rentgenstariem pie istabas temperatūras uz kadmija lokalizējas elektrons stāvoklī  ${}^2S_{1/2}$ . Kā liecina iegūtie spektri, elektronam ir spēcīga hipersīkstruktūras mijiedarbe ar apkārtesošajiem fluora atomu kodoliem, kuru kodola spins  $I = 1/2$ . EPR spektrs šim centram sastāv no 9 līnijām, kuru intensitātēm piemīt binomiāls sadalījums. Pēc apstarošanas pie zemajām temperatūrām papildus tika novērots arī  $V_K$  centra spektrs.

Vispārīgs  $\text{Cd}^+$  defektu EPR spektrus aprakstošais spina Hamiltoniānis ir sekojošs:

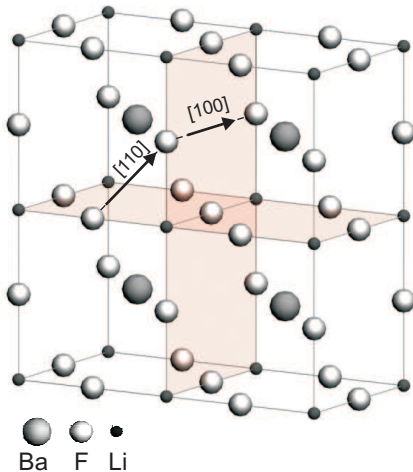
$$\hat{\mathcal{H}} = g\beta B \hat{S} + SA^{Cd} I^{Cd} + \sum_i (SA_i^F I_i^F) \quad (3.1)$$

kur  $g$  –  $\text{Cd}^+$  g-faktors,  $\beta$  – Bora magnetons,  $B$  – magnētiskā lauka indukcija,  $S$  – elektrona spins,  $A^{Cd}$  – Cd kodola hipersīkstruktūras mijiedarbības konstante,  $I^{Cd} = 1/2$  – Cd nepāra izotopu  ${}^{111}\text{Cd}$  un  ${}^{113}\text{Cd}$  kodola spins ( ${}^{112}\text{Cd}$  izotopa kodola spins  $I = 0$ ). Cd nepāra izotopu EPR spektri salīdzinoši mazo koncentrāciju dēļ (12.75% -  ${}^{111}\text{Cd}$  un 12.26% -  ${}^{113}\text{Cd}$  attiecīgi) ir ar mazāku intensitāti, piedevām līdzīgo hipersīkstruktūras sašķelšanās konstanšu dēļ tie pārkļājas, kas apgrūtina to izšķiršanu. Summa spina Hamiltoniānī (3.1) apraksta katra tuvākā fluora kodola spina hipersīkstruktūras mijiedarbību  $A_i^F I_i^F$  ar elektronu.

$\text{Cd}^+$  joni, atrazdamies laukā ar kubisku simetriju, izsauc aksiālas kristāliskā lauka deformācijas uz katru tuvāko fluora atomu (skat. 3.2. attēlu). Deformācijas asis sakrīt ar kuba diagonālēm.



3.2. attēls. Regulārā  $\text{Cd}^+$   $\text{BaF}_2$  piejaukumdefekta kristalogrāfiskā struktūra.

3.3. attēls.  $\text{LiBaF}_3$  kristāla struktūra.

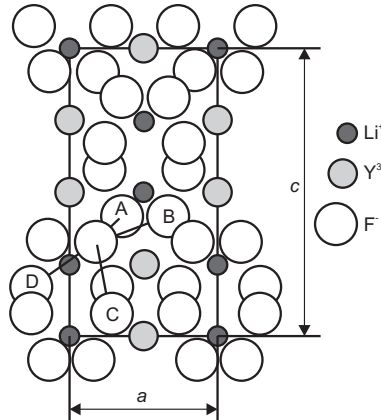
## 3.2. $\text{LiBaF}_3$ kristālos

$\text{LiBaF}_3$  kristālam ir antiperovskita struktūra (skat. 3.3. attēlu). Šajā kristālā ir veikti virkne radiācijas defektu pētījumi. Pēc apstarošanas zemajās temperatūrās tika novēroti autolokalizēta cauruma  $V_K$  tipa centri. Vairākas F-tipa centriem raksturīgas optiskās absorbcijas joslas tika novērotas pēc kristālu apstarošanas ar rentgena stariem pie istabas temperatūras. Pirmo reizi F-tipa centra EPR spektrs tika novērots  $\text{LiBaF}_3$  kristālā ar Fe piejaukumu [10]. Galvenais šo pētījumu trūkums bija nepilnīgi novērojamais F-centra  $hss$  spektrs – tas daļēji pārklājās ar platu absorbcijas joslu, kuras izcelsme netika noskaidrota. Citi F-centra pētījumi tīrā  $\text{LiBaF}_3$  kristālā tika veikti ar optiski detektējamās EPR metodi, kuras pamatā ir centra rekombinācijas luminescences ierosināšana (RL-EPR). Absorbcijas magnētiski cirkulārā dihroisma EPR (MCD-EPR) mērījumi Rtg apstarotā kristālā arī parādīja F-centram raksturīgu spektrālo ainu. Šajos mērījumos tika noskaidrots, ka F-centram ir  $g$ -faktora anizotropija, tomēr netika noskaidrota informācija par centra  $hss$  mijiedarbību ar tuvākajā apkārtē esošo atomu kodoliem.

Lai izskaidrotu RL-EPR spektru leņķisko atkarību, tika izmantots spina Hamiltoniānis:

$$\hat{\mathcal{H}} = \mu_B \cdot \mathbf{B} \cdot \hat{g} \cdot \mathbf{S} \quad (3.2)$$

pieņemot, ka  $S = 1/2$  un  $g$ -tenzors ir aksiāls ar tā galveno asi kristāla [100] virzienā.



**3.4. attēls.**  $\text{LiYF}_4$  kristalogrāfiskās struktūras projekcija ac plaknē [18].

### 3.3. $\text{LiYF}_4$ kristālos

$\text{LiYF}_4$  kristāli līdzīgi kā citi šajā darbā aplūkotie materiāli tiek izmantoti gan kā scintilatori, gan ir populāri lāzeru aktīvās vides materiāli [1, 11, 12]. Kristāla struktūra ir pateicīga vide, kurā var iebūvēties tādi trīsvērtīgie reto zemju elementu joni kā  $\text{Nd}^{3+}$ ,  $\text{Dy}^{3+}$ ,  $\text{Er}^{3+}$ ,  $\text{Yb}^{3+}$ ,  $\text{Ce}^{3+}$ , aizvietojot  $\text{Y}^{3+}$  jonus bez lādiņa kompensācijas [13–15].

Līdz šim ir veikti virkne pētījumi, kuri skar gan piejaukumu, gan pašvielas defektu optisko un magnētisko īpašību izpēti  $\text{LiYF}_4$  kristālā [13–22]. Radiācijas defekti, ierosinot tos ar rentgenstariem pie 77 K tīros  $\text{LiYF}_4$  kristālos, ir pētīti darbos [17–19]. Šajos darbos ir novērots  $V_K$  tipa centrs ( $\text{F}_2^-$ ), kura pilnīga struktūras analīze ir veikta darbā [19]. Šī centra EPR spektrs sastāv no četrām hipersīkstruktūras līnijām, kas raksturo autolokalizētā cauruma  $hss$  mijiedarbību ar diviem fluora kodoliem.  $V_K$  centra struktūra  $\text{LiYF}_4$  ir līdzīga vienkāršākos sārmu halogenīdos novērojamajiem  $V_K$  centriem, taču  $\text{LiYF}_4$  kristālā ir iespējami četru tipu  $V_K$  centri, kur visi ir termiski nestabili un ar salīdzinoši īsu dzīves laiku pat zemajās temperatūrās, piemēram, stabilākais  $V_K$  centrs relaksē aptuveni 60 min laikā pie 77 K. Kristāla struktūra un iespējamie  $V_K$  centri ir redzami 3.4. attēlā, kur tuvākie fluora kaimiņu joni ir apzīmēti ar A, B, C un D. Kā stabilākais centrs tiek uzskatīts C variants.

Cits iespējamais variants  $\text{LiYF}_4$  struktūrā ir F-tipa centrs. Šāda tipa centra varbūtība tika izteikta [17] darbā. Kā iespējamo modeli autoi piedāvā defektu, kura dipols ir novietots gar jonu  $\text{Y}^{3+}$ - $\text{Y}^{3+}$  virzienu. Kopumā ir iespējami astoņi šādi virzieni, kas var nebūt spekrāli izšķirami, pārklājoties spekrāllīnijām. Darbā [20] veiktajos radiācijas defektu luminescences un absorbcijas pētījumos tāpat tika novērota  $V_K$  centram raksturīgā josla pie 331 nm. Papildus tam tika novērotas absorbcijas joslas pie 411, 431 un 542 nm, kuru izcelsmē netika identificēta. Interesants fakts darbā [20] ir novērotais stimulētās emisijas efekts, ierosinot dažu tipu krāsu centrus.

### 3.4. Oksifluorīdu stikla keramikā (OxFGC)

Oksifluorīdu stikla keramika ir salīdzinoši jauns un mazpazīstams materiāls. Latvijas Universitātes Cietvielu Fizikas Institūtā tikai pavisam nesen ir uzsākta un veiksmīgi tiek attīstīta šo materiālu sintēze [23]. Šo materiālu pielietošana ir daudzsološa dažādās nozarēs. Uz stikla keramiku bāzes var veidot gan aktīvās lāzeru vides, gan scintilatoru materiālus. Līdz ar to aktuāla ir šo materiālu optisko īpašību izpēte. Kā zināms, optiskās īpašības ietekmē tieši materiāla struktūras defekti. Līdz šim stikla keramikas materiālos salīdzinoši plaši ir pētīti dažādi reto zemju elementu piejaukumi: Er<sup>3+</sup> [24–29], Nd<sup>3+</sup>, Pr<sup>3+</sup>, Yb<sup>3+</sup>, Ho<sup>3+</sup> [30, 31]. Tas ir saprotams, jo tieši enerģijas pārnese starp retzemju elementu enerģijas līmeņiem nodrošina tā saucamo *up-conversion* procesu. Tika noteikts, ka no stikla sintezētā stikla keramikā šis process norit ievērojami efektīvāk [24, 29]. Pamatā literatūrā ir aprakstīti optiskās spektroskopijas – luminescences un absorbcijas pētījumi, taču praktiski nav ziņu par radiācijas ierosinātu pašvielas paramagnētisko defektu pētījumiem šādos kompozītmateriālos. Tā kā arī šos materiālus var izmantot augstas enerģijas jonizējošā starojuma uztveršanai un transformēšanai, tad ir svarīgi saprast un paredzēt šo materiālu stabilitāti.

Stikla keramikas struktūras īpatnība ir tā, ka daļa no materiāla ir kristalizējusies. Kā stikla bāzes izejvielas pamatā izmanto SiO<sub>2</sub>, B<sub>2</sub>O<sub>3</sub> vai P<sub>2</sub>O<sub>5</sub>, attiecīgi iegūstot uz silikātu, borātu vai fosfātu bāzes veidotu stiklu. Oksifluorīdu stikls tiek iegūts, kā papildus izejmateriālus izmantojot dažādus fluorīdus. Materiāla sintēze sastāv no diviem posmiem: 1) stikla audzēšana, izmantojot atbilstošās komponentes; 2) stikla keramikas izveidošana, izmantojot noteiktu termisko apstrādi, kas parasti ir parauga karsēšana pie noteiktas temperatūras. Karsēšanas procesa laikā fluorīdu ķīmiskie savienojumi izveidojas ar kristālisku struktūru. Tas ir iespējams, jo fluorīdi ir principiāli atšķirīga vielu klase un neveido ķīmiskas saites ar pamatmateriālu – oksīdu. Kā liecina ar dažādām metodēm veiktie pētījumi, tad pamatā stikla keramikās izveidojas nanoizmēru fluorīdu kristalīti. To izmēri ir atkarīgi no stikla pēcapstrādes un var būt no 8 – 25 nm robežās. OxFGC piemīt virkne pozitīvu īpašību. Keramikām piemīt augsta termiskā un ķīmiskā noturība, kā arī mehāniski tās ir izturīgākas par kristāliskiem paraugiem.

EPR pētījumi šajos materiālos ir veikti salīdzinoši maz. Tas saistīts ar EPR ierobežotajām iespējām nesakārtotu struktūru gadījumā. Šādā gadījumā lietderīgi ir noskaidrot korelāciju starp EPR spektriem monokristālos un novērojamo ainu stikla keramikā. OxFGC gadījumā var izmantot zināmo par jau iepriekšējās apakšnodaļās aplūkotajiem fluorīdu kristāliem: BaF<sub>2</sub>, LiBaF<sub>3</sub>, LiF un LiYF<sub>4</sub>. Iespējamo kristalītu struktūras analīzi apgrūtina fakts, ka, atrodoties stikla matricā, dažiem fluorīdiem var būt atšķirīga kristalogrāfiskā struktūra. Tā, piemēram, ir zināms, ka LiYF<sub>4</sub> kristālam, papildus tā normālajai – tetragonālai šelīta struktūrai, pie augstiem spiedieniem ir iespējamas vēl citas fāzes [32]. Līdzīga situācija ir ar YF<sub>3</sub> kristālu, kuru monokristāla veidā ir ļoti grūti iegūt [33]. Tādējādi šādas stikla keramikas ar inkorporētiem YF<sub>3</sub> kristalītiem var būt alternatīva YF<sub>3</sub> monokristālu izmantošanai.



## 4. nodaļa

# Eksperimentālā metodika

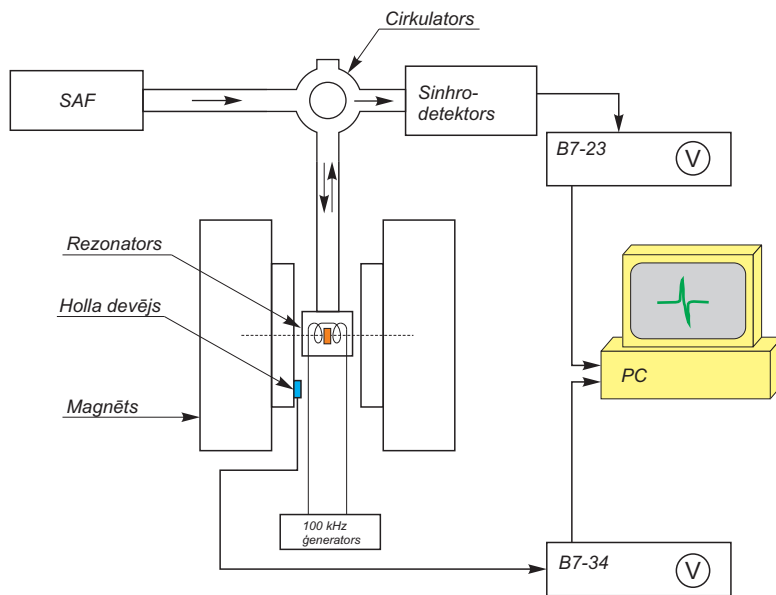
### 4.1. EPR spektrometrs

Lai varētu reģistrēt rezonances absorbciju sistēmā, kura satur nesapārotus spinus, nepieciešams spektrometrs ar pastāvīgu magnētisko lauku. Līdzīgi kā citu tipu spektrometros arī EPR spektrometram ir gan savs starojuma avots, gan mēriekārtas absorbcijas ainas reģistrēšanai paraugos. EPR spektrometra gadījumā starojuma avots – super-augsto frekvenču (SAF) jeb mikroviļņu starotājs izstaro monohromatiskus EM viļņus un darbojas pie konstantas frekvences  $\nu$ , bet enerģētiskais diapazons tiek skanēts, lineāri mainot magnētiskā lauka intensitāti. Attālums starp spina enerģijas līmeņiem ir proporcionāls magnētiskā lauka intensitātei saskaņā ar (2.1). Absorbcijas līnijas tiek novērotas mirkli, kad attālums starp enerģijas līmeņiem ir vienāds ar mikroviļņa fotona enerģiju  $h\nu$ .

Spektrometra sastāvdaļas var iedalīt četrās lielās grupās:

- 1) *Mikroviļņu starotāja bloks* sastāv no ierīcēm, kas regulē mikroviļņu starojuma frekvenci un intensitāti, kā arī no ierīcēm, kas šo starojumu uztver.
- 2) *Magnēta sistēma* nodrošina stabilu, lineāri maināmas indukcijas homogēnu magnētisko lauku.
- 3) *Rezonatora sistēma* sastāv no rezonatora, kurā tiek ievietots paraugs un ierīcēm mikroviļņu starojuma kontrolei un novirzīšanai uz paraugu kā arī absorbcijas starojuma izvadīšanai no rezonatora.
- 4) *Detektēšanas sistēma* grupas ierīces uztver, pastiprina un reģistrē signālu.

EPR spektru mērījumiem mūsu eksperimentos tika izmantots standarta EPR spektrometrs PΘ-1306. Šis spektrometrs strādā tā dēvētajā X-mikroviļņu diapazonā, kura raksturīgā frekvence ir  $\sim 9.5$  GHz. Šāda starojuma viļņa garums ir  $\sim 3$  cm. Magnētiskā lauka iespējamais izvēršanas diapazons ir 100 – 7000 Gs. Lauka izvēršanas precizitāte ir 0.5

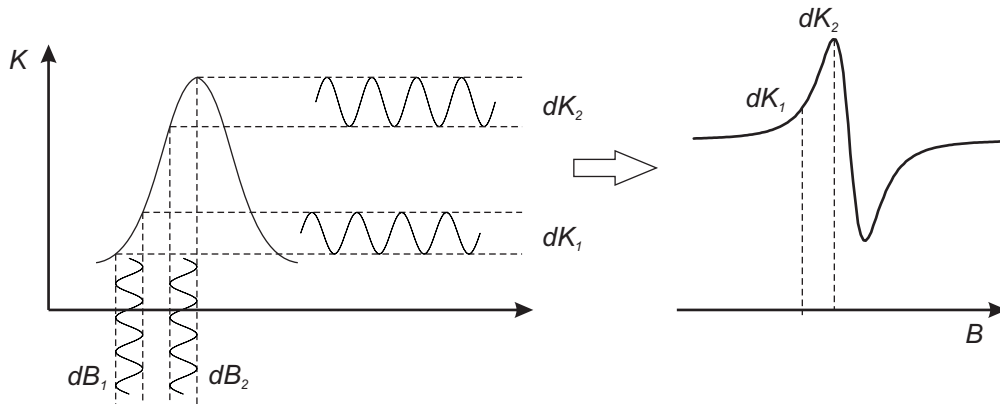


**4.1. attēls.** EPR spektrometra PΘ-1306 shematisks attēlojums.

Gs. Magnētiskā lauka modulācija tiek realizēta ar rezonatorā ievietotām magnētisko lauku modulējošām indukcijas spolēm, kuru EM starojuma magnētiskā komponente ir perpendikulāra stacionārajam magnētiskajam laukam. Modulācijas frekvence ir 100 kHz, līdz ar to eksperimentāli tiek fiksēts absorbcijas līnijas pirmsais atvasinājums. Spektrometra shematisks attēlojums redzams 4.1. attēlā.

#### 4.1.1. Magnētiskā lauka modulācija

Signāla reģistrāciju apgrūtina dažādas izcelsmes trokšņi. Signāla/troksnis attiecības uzlabošanai, tiek izmantota šaurjoslas pastiprināšanas tehnika. Lai to varētu izmantot, nepieciešams modulēt statisko magnētisko lauku  $B_0$  ar kādu noteiktu frekvenci. Modulācijas rezultātā uz detektora nonāk maiņspriegums, kuram ir modulācijas frekvence. Šis signāls tad arī tiek pastiprināts ar šaurjoslas pastiprinātāju. Modulācijas frekvence parasti ir 100 kHz. Tā tiek realizēta ar rezonatorā izvietotām spolītēm, kuras atrodas uz magnētiskā lauka ass. Ja 100 kHz modulācijas amplitūda ir neliela salīdzinājumā ar līnijas platumu, tad detektējamā signāla 100 kHz amplitūda būs proporcionāla absorbcijas līnijas slīpumam modulācijas lauka centrālajā punktā skat. 4.2. attēlu. Var redzēt, ka līnijas pusplatumā vietā tas būs maksimāls, bet līnijas pārliekuma punktā tas būs 0. Šādā veidā tiek iegūts absorbcijas līnijas pirmsais atvasinājums. Tipiskā starojuma jauda ir aptuveni 1 mW. Šāda vāja starojuma uztveršanai tiek izmantota superheterodīnu sistēma.



**4.2. attēls.** Magnētiskā lauka modulācijas princips.

### 4.1.2. Rentgenapstarošana

Rentgenapstarošanai tika izmantots barošanas bloks, kurš spēj nodrošināt max. 20 mA strāvu pie 60 kV sprieguma. Rentgenlampas tips BCB2-W ar volframa anoda materiālu. Tipiski starošana tika veikta, izmantojot  $\sim 50$  kV spriegumu un 10 mA anodstrāvu 30 min – 1 h ilgos laika intervālos.

## 4.2. Pētītie paraugi

Eksperimentos izmantotie kristālu  $\text{BaF}_2:\text{Cd}^+$ ,  $\text{LiYF}_4$  paraugi un OxFGC paraugs tika izaudzēti LU Cietvielu Fizikas Institūtā (A. Veispāls, L. Dimitročenko).  $\text{LiBaF}_3$  kristāls tika izaudzēts Japānā Vasedas universitātē (N. Ichinose, K. Shimamura). Visiem kristāliskajiem paraugiem tika noteikta galveno kristalogrāfisko asu orientācija. Tādā veidā bija iespējams veikt leņķisko atkarību mēriņumus, orientējot magnētisko lauku noteiktā kristalogrāfiskajā plaknē.  $\text{LiBaF}_3$ ,  $\text{LiYF}_4$  kristālu un OxFGC EPR mēriņumi tika veikti šķidrā slāpekļa temperatūrā – 77 K.  $\text{BaF}_2:\text{Cd}^+$  EPR mēriņumi tika veikti istabas temperatūrā. Mēriņumi 77 K temperatūrā tika realizēti, izmantojot stikla djuāru, kurā tika iepildīts šķidrs slāpeklis un ievietots pie kvarca paraugtura piestiprināts paraugs.

### $\text{BaF}_2:\text{Cd}^+$

Šis kristāls tika audzēts vakuumā un Cd koncentrācija bija aptuveni 0.02 at.%. Paraugs tika apstarots ar  $\gamma$ -stariem istabas temperatūrā. EPR leņķisko atkarību mēriņumi tika veikti istabas temperatūrā, kristāla (110) plaknē, orientējot magnētisko lauku no virziena [100] līdz [110] ar soli  $5^\circ$ .

**LiBaF<sub>3</sub>**

Paraugs audzēts ar ļoti augstu tīrības pakāpi, bez piemaisījumiem. Tam tika noteikta kristalogrāfisko asu orientācija un EPR leņķiskās atkarības mērītas plaknē (110) no virziena [100] līdz [110]. Rentgen-apstarošana tika veikta pie RT. EPR mērījumi tika veikti šķidrā slāpekļa temperatūrā – 77 K.

**LiYF<sub>4</sub>**

LiYF<sub>4</sub> kristālam ir šēlīta struktūra, kurai ir tetragonāla simetrija. Simetrijas grupa ir  $I4_1/a$ , kas ir atbilstoša labi zināmajai CaWO<sub>4</sub> struktūrai. Režga konstantes ir  $a = b = 5.26 \text{ \AA}$  un  $c = 10.94 \text{ \AA}$ . Katrs Li<sup>+</sup> jons ir cieši saistīts ar regulāru fluoru tetraedru, bet katra Y<sup>3+</sup> jona apkārtnē ir astoņi fluora atomi, kas veido tetragonālu desmitskaldni [15]. Kristāla optiskā ass  $c$  tika noteikta izmantojot polarizācijas mikroskopu. Rentgen-apstarošana tika veikta pie RT. EPR mērījumi tika veikti divās kristalogrāfiskajās plaknēs 1) orientējot magnētisko lauku no  $b \parallel c$  līdz  $\mathbf{B} \perp c$  un 2) griežot kristālu ap  $c$  asi, tādējādi orientējot magnētisko lauku plaknē  $ab$ . Leņķisko atkarību mērījumi tika veikti šķidrā slāpekļa temperatūrā – 77 K.

**OxF<sub>4</sub>C**

Oksifluorīda stikla keramikas paraugs tika audzēts, izmantojot sekojošas izejvielas: 50 mol% SiO<sub>2</sub>, 25 mol% Li<sub>2</sub>CO<sub>3</sub>, 20 mol% YF<sub>3</sub>, 3 mol% YbF<sub>3</sub> un 2 mol% ErF<sub>3</sub>. Iegūtais stikla paraugs tika karsēts 555°C temperatūrā 20 minūtes, līdz izveidojās stikla keramika. Abi materiāli tika apstaroti ar rentgena stariem pie istabas temperatūras. EPR mērījumi tika veikti 77 K temperatūrā.

### 4.3. EPR spektru analīzes metodika

Viena no svarīgākajām lietām EPR spektru izpratnē ir to teorētiskā modelēšana, izmantojot dotā paramagnētiskā centra parametrus. Aprēķināto spektru precizitāte ir atkarīga no izmantotajām aproksimācijas un matricu diagonalizēšanas metodēm [34].

Vienkāršākā no aproksimācijas metodēm ir matemātiska EPR pāreju pozīciju aprēķināšana spektrā. Tālāk tai tiek piekārtota kāda absorbcijas līnijai raksturīga funkcija. Parasti tā ir *Lorenca* vai *Gausa* tipa funkcija. Kā jau zināms no 2. nodaļas, paramagnētiskā centra spina Hamiltoniānis, kas apraksta elektrona Zēmana mijiedarbību un hipersīkstruktūras mijiedarbību ar tuvākajiem  $n$  kaimiņiem ar kodola spinu  $I$  ir:

$$\hat{\mathcal{H}} = g\beta B \hat{S} + \sum_i^n A_i \hat{S} \cdot \hat{I}_i \quad (4.1)$$

Kura ietilpstotā kvantu mehāniskās sistēmas spinu vērtības ir šādas:

$$|M_S; M_{I_1}, M_{I_2}, \dots, M_{I_n}\rangle \quad (4.2)$$

kuru stāvokļu enerģijas tiek izteiktas ar sakarību:

$$E(M_S, M_{I_1}, M_{I_2}, \dots, M_{I_n}) = M_S\{g\beta B + \sum_i^n A_i \cdot M_{I_i}\} \quad (4.3)$$

Kā zināms, EPR atļauto pāreju izvēles likums nosaka, ka  $\Delta M_S = \pm 1$  un  $\Delta M_I = 0$ , no tā izriet pāreju rezonances nosacījums, kurš izpildās, sistēmai absorbējot noteiktas enerģijas elektromagnētiskā starojuma kvantu:

$$h\nu = g\beta B + \sum_i^n A_i \cdot M_{I_i} \quad (4.4)$$

kur  $M_I$  atbilstošā ekvivalento kodolu skaita spina efektīvā vērtība. Hipersīkstruktūras spektrāllīnijas spektrā nosaka no rezonases magnētiskā lauka, atņemot vai tam pieskaitot hipersīkstruktūras sašķelšanās konstantes vienības, kuras ir kvantētas pa kodolu spina stāvokļiem:

$$B_i = B_0 - \sum_i^n A_i \cdot M_{I_i} \quad (4.5)$$

Pēc tam šīm spektrāllīniju pozīcijām tiek piekārtota kāda raksturīgā funkcija, visbiežāk – Lorenca funkcija:

$$y(B) = Y_{max} \frac{\Gamma^2}{\Gamma^2 + (B - B_r)^2} \quad (4.6)$$

kur  $\Gamma$  – līnijas pusplatums,  $Y_{max}$  – absorbcijas līnijas amplitūda:  $Y_{max} = 1/\pi\Gamma$ ,  $B_r$  – magnētiskā lauka rezonances vērtība. Visbiežāk kā spektru reģistrēšanai, tā arī aprēķiniem tiek izmantots šīs funkcijas pirmās kārtas atvasinājums:

$$y'(B) = -Y_{max} \frac{2\Gamma^2(B - B_r)}{[\Gamma^2 + (B - B_r)^2]^2} \quad (4.7)$$

Teorētisko spektru modelēšanai tika izmantotas sekojošas programmas: EPR-NMR [34], Easyspin [35], PCS.



## 5. nodaļa

# Rezultāti un diskusija

### 5.1. Neregulārā Cd<sup>+</sup> centra pētījumi BaF<sub>2</sub> kristālos

Eksperimenta gaitā tika uzņemti pētāmā kristāla EPR spektru leņķiskās atkarības. Mērījumi tika veikti istabas temperatūrā normālos apstākļos ar mikroviļņu frekvenci  $\nu=9.61\text{ GHz}\pm0.01\text{ GHz}$ . Kā jau minēts metodiskajā daļā, tika veikta mērījumu sērija, mainot kristāla orientāciju magnētiskajā laukā ik pa  $5^\circ$ , līdz kristāls tika pagriezts no [100] līdz [110] virzienam. 5.2. attēlā ir parādīti tikai tie eksperimentālie spektri, kas atbilst galvenajiem kristalogrāfiskajiem virzieniem — [100], [111] un [110].

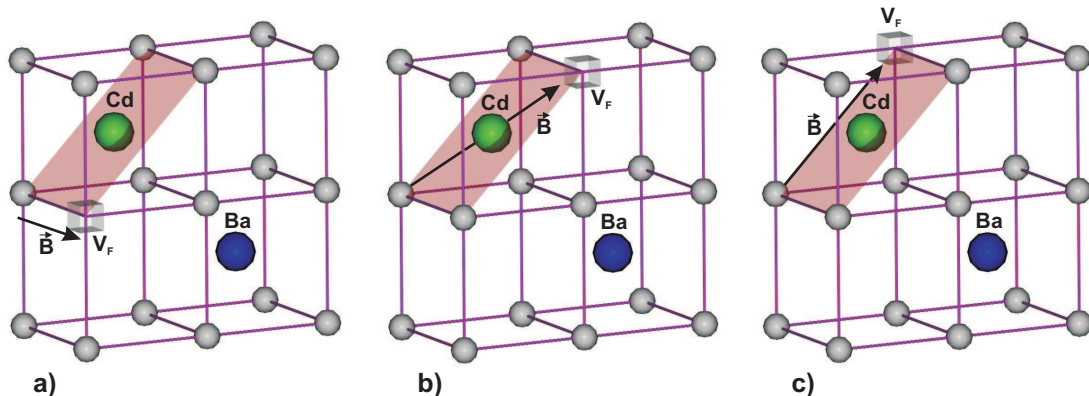
Gadījumā, kad  $B_0 \parallel [100]$ , ir labi redzamas 8 spektrāllīnijas, kuru intensitātes atbilst binomiālajam sadalījumam. Līniju platumis ir salīdzinoši liels  $\sim 45\text{ MHz}$ .

Līdzīga aina ir novērojama perturbētā centra spektrā [111] virzienā. Ir izšķiramas 8 lielākas līniju grupas, kurām ir novērojama sīkstruktūra — tās ir sadalījušās atsevišķas līnijās, sevišķi stiprākā lauka virzienā. Arī šo līniju platumis ir salīdzinoši liels, kas apgrūtina hipersīkstruktūras anizotropijas izšķiršanu spektrā. EPR spektrā [110] virzienā ir novērojama spēcīga spektrāllīniju anizotropija, kuru visās detaļās izšķirt neļauj lielais spektrāllīniju platumis.

Spektru aprēķini tika veikti ar programmām PCS un EPRNMR. Aprēķinos izmantotie Cd centra EPR parametri ir parādīti 5.1. tabulā. Visas efektīvās hipersīkstruktūras konstantes katram virzienam ir izrēķinātas pēc (2.11) sakarības.

5.3. attēlā ir redzami ar datoru modelētie perturētā Cd<sup>+</sup> centra spektri attiecīgajos virzienos, gadījumam, kad tā nesapārotais elektrons mijiedarbojas ar 7 apkārtējiem fluora kodoliem, kuru spins  $I = 1/2$ . Aprēķinātajam spektram [100] virzienā ir redzamas  $k = (2nI + 1) = 8$  hipersīkstruktūras līnijas, kurām gan pēc novietojuma, gan intensitātes ir novērojama laba sakritība ar tajā pašā virzienā eksperimentāli uzņemto spektru. Var redzēt, ka arī aprēķinātajam spektram līniju intensitātes sadalās pareizi pēc binomiālā sadalījuma - attiecīgi 1 : 7 : 21 : 35 : 35 : 21 : 7 : 1 (skat. 2.5. attēlu). Eksperimentālajam spektram šis sadalījums ir nedaudz novirzījies vājākā lauka virzienā.

Laba aprēķināto spektru sakritība ar eksperimentāli uzņemtajiem spektriem ir novē-



5.1. attēls. Neregulārā  $Cd^+$  centra kristalogrāfiskais modelis.

rojama arī pārējās divas orientācijās — [111] un [110]. Lai gan spektri nesakrīt visās sīkākajās detaļās, tomēr redzams, ka spektra intensīvākajām līnijām ir laba sakritība ar eksperimentālo ainu. Piemēram, [110] virzienā aprēķinātajā spektrā nav novērojamas divas līnijas, kuras ir redzamas eksperimentālajā spektrā ap 3420 un 3610 Gs.

Teorētiskajos aprēķinos tika pārbaudīta arī hipotēze, vai viena fluora atoma vietā nav iebūvējies kāds no tam homologiem halogēnu atomiem — hlora ( $^{35}\text{Cl}$ ,  $^{37}\text{Cl}$ ) vai broma ( $^{79}\text{Br}$ ,  $^{81}\text{Br}$ ) jons. Aprēķinos izmantotie šo halogēnu EPR parametri ir redzami 5.1. tabulā. Šie spektri galvenajos vilcienos sakrīt ar eksperimentālo spektru, kā līniju skaita, tā intensitātes un novietojuma ziņā, tomēr to forma ir atšķirīga, no eksperimentāli fiksētās ainas un arī no [100] virzienā reķinātajiem spektriem. Spektrālīnijām vairs nav izteiktas nobīdes stiprāka lauka virzienā, kā tas ir novērojams augstāk aprakstītajos spektros. No spektriem nav izdalāmas atsevišķas līnijas, kuras sakristu ar eksperimentālajos spektros redzamajām līnijām un kuras apstiprinātu hlora klātbūtni kristālā.

Visi perturbētā Cd eksperimentālie, gan arī teorētiski iegūtie rezultāti liecina, ka Cd nesapārotajam elektronam ir spēcīgi izteikta hipersīkstruktūras mijiedarbība ar 7 fluora kodoliem. Par to, ka Cd mijiedarbojas tieši ar 7 kodoliem viennozīmīgi liecina [100] orientācijā uzņemtais spektrs (skat. 5.2. attēlu), kurā ir labi redzamas  $k = 2nI + 1 = 8$  spektrālīnijas. Šo hipotēzi apstiprina arī teorētiski aprēķinātie spektri. Pārējo orientāciju sakritība ir skaidrojama ar dotā centra hipersīkstruktūras perturbēto dabu. Iespējams, ka, fluora vietā esot vakancei,  $Cd^+$  jons lādiņu elektrostatiskās mijiedarbības rezultātā nobīdās pārējo fluoru virzienā.

Ir palicis strīdīgs jautājums par to, vai iztrūkstošā fluora vietā nav iebūvējies kāds no tam homologiem halogēnu joniem, piemēram hlors vai broms. Papildus 7 fluora kodoliem aprēķinos iekļaujot arī hlora kodola spinu, spektrā redzamā aina vairs tik precīzi neatbilst eksperimentāli izmērītajiem EPR spektriem. Ta kā hlora kodola spins ir  $I = 3/2$ , tad katrai spektrālīnijai būtu jāsašķeļas vēl četrās. Šo ainu eksperimentālajos spektros praktiski nevar novērot, jo hlora  $hss$  mijiedarbības konstante ir aptuveni divas reizes mazāka par līnijas platumu. Līdz ar to hlora līnijas EPR spektrā [100] virzienā nav atšķiramas.

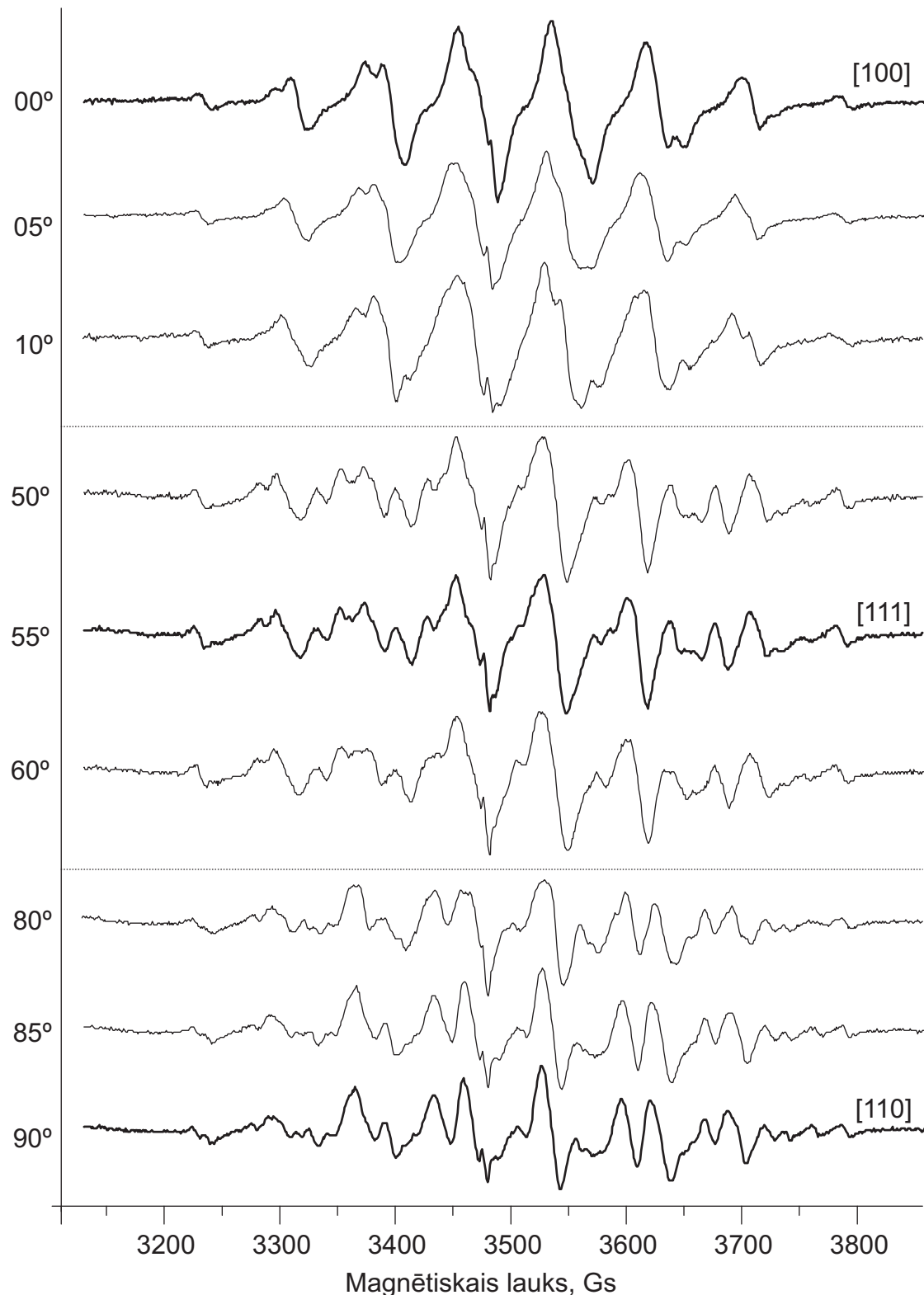
Paramagnētisko centru raksturojošie lielumi	$B \parallel [100]$	$B \parallel [111]$	$B \parallel [110]$
Magnētiskā lauka diapazons, GS	3000 ÷ 3900		
Kaimiņu skaits grupā	$7 (\theta = 54.5^\circ)$	$1 (\theta = 0^\circ)$ $6 (\theta = 71^\circ)$ un $2 (\theta = 0^\circ)$ $5 (\theta = 71^\circ)$	$3 (\theta = 90^\circ)$ $4 (\theta = 35.5^\circ)$ un $4 (\theta = 90^\circ)$ $3 (\theta = 35.5^\circ)$
$g$ -faktors	1.9896		
Elektrona spins $S$	1/2		
Fluora kodola spins $I^F$	1/2		
$^{19}\text{F}$ $A_{eff}^F$ , MHz	225.6	287.9 ( $\theta = 0^\circ$ ) 199.3 ( $\theta = 71^\circ$ )	186.0 ( $\theta = 90^\circ$ ) 258.9 ( $\theta = 35.5^\circ$ )
Hlora kodola spins $I^{Cl}$	3/2		
$^{35}\text{Cl}$ , $^{37}\text{Cl}$ $A_{eff}^{Cl}$ , MHz	22.6	29.0 ( $\theta = 0^\circ$ ) 20.0 ( $\theta = 71^\circ$ )	18.6 ( $\theta = 90^\circ$ ) 26.0 ( $\theta = 35.5^\circ$ )
Broma kodola spins $I^{Br}$	3/2		
$^{79}\text{Br}$ , $^{81}\text{Br}$ $A_{eff}^{Br}$ , MHz	112.5	143.5 ( $\theta = 0^\circ$ ) 100.0 ( $\theta = 71^\circ$ )	93.0 ( $\theta = 90^\circ$ ) 129.5 ( $\theta = 35.5^\circ$ )
$^{111}\text{Cd}$ kodola spins	1/2		
$^{113}\text{Cd}$ kodola spins	1/2		
$^{111}\text{Cd}$ A, GHz	10.04 [7]	—	—
$^{113}\text{Cd}$ A, GHz	10.51 [7]	—	—

**5.1. tabula**  $Cd^+$  centra EPR parametri.

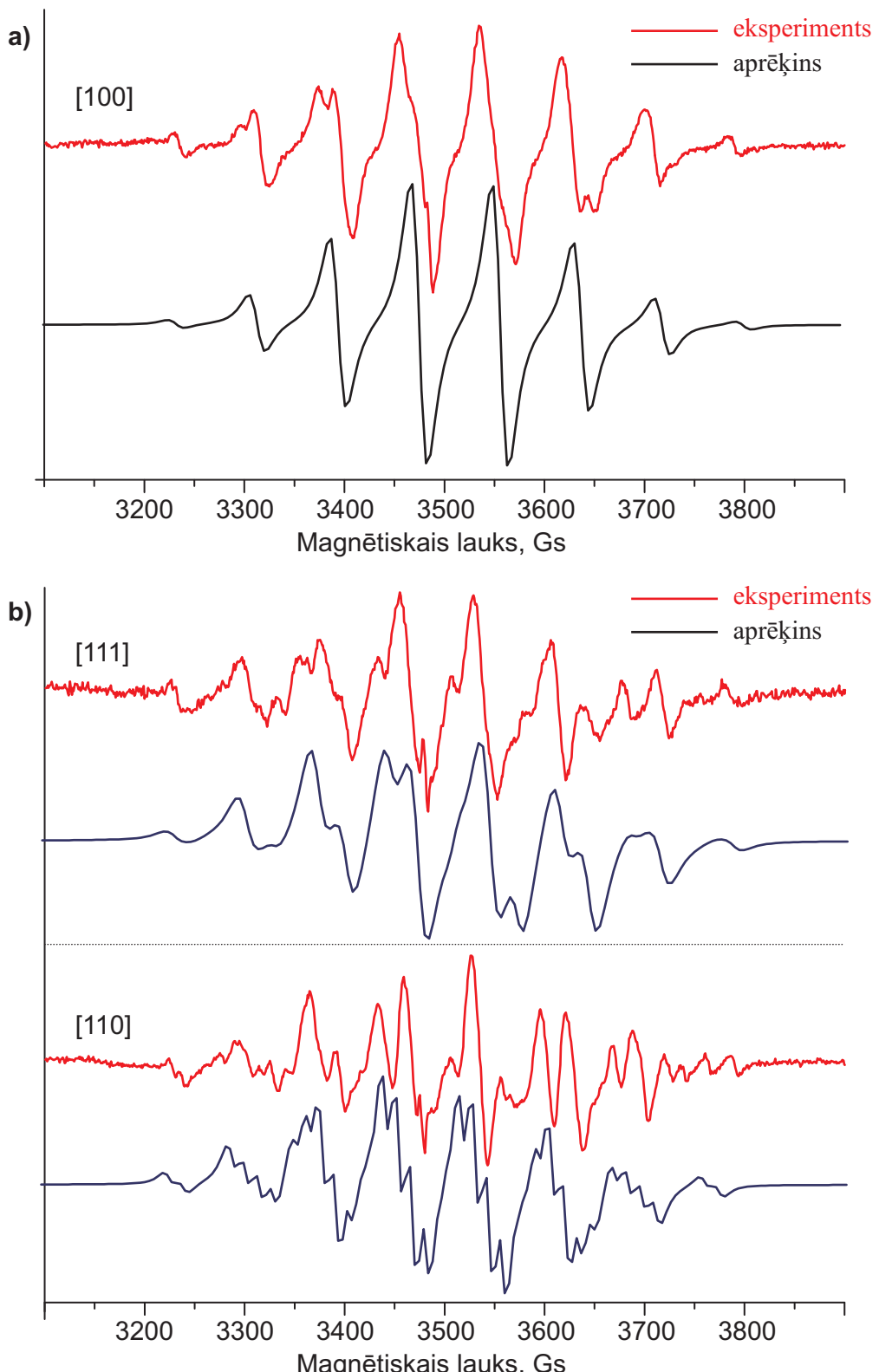
Pagaidām mūsu izrēķinātie spektri nesniedz pārliecinošu ainu, ka fluora vakances vietā varētu būt tieši hlors. Pastāv iespēja, ka no kristāla pilnībā nav iztvaikojis skābeklis, kura pam nepiemīt paramagnētisko īpašību, lai to varētu detektēt ar šo metodi.

Broma klātbūtne aplūkojamajā centrā ir ļoti mazvarbūtīga, nemot vērā bromas izotopu lielo hipersīkstruktūras sašķelšanās konstanti (skat. 5.1. tabulu). Bromas spēcīgās  $hss$  mijiedarbības dēļ līniju skaitam spektros ir būtiski jāpalielinās, tā kā bromas kodolas spins  $I=3/2$ .

Iegūto pētījumu rezultātā kā visvarbūtīgākais perturbētā  $BaF_2:\text{Cd}$  modelis ir tieši F kodola iztrūkumu Cd jona tuvākajā apkārtnē. Vakance atrodas kristāla (111) virzienā. Šāds modelis ar iespējamajām fluora vakances pozīcijām ir redzams 5.1. attēlā.



**5.2. attēls.** Eksperimentālie EPR spektri perturbētajam  $Cd^+$  centram  $BaF_2$  kristālā.



**5.3. attēls.** Teorētiski aprēķināto spektru salīdzinājums ar eksperimentālajiem spektriem perturbētajam  $Cd^+$  centram  $BaF_2$  kristālā.

## 5.2. F-tipa centru EPR pētījumi $\text{LiBaF}_3$ kristālos

Eksperimentālie EPR spektri gar galvenajām kristalogrāfiskajām asīm ir parādīti 5.5. attēlā. Visas F-tipa centra hipersīkstruktūras līnijas ir labi izšķiramas pretēji tam, kā tas bija ar Fe aktivētajā  $\text{LiBaF}_3$  kristālā [10, 38], kur liela daļa no F-centra spektra pārklājās ar platu nenosakāmas izcelmes spektrāllīniju.

Kā redzams 5.5. attēlā, EPR spektrs ir visvienkāršākais, kad magnētiskais lauks ir orientēts [111] virzienā. Šajā situācijā spektrāllīnju intensitātēm ir novērojams bino-miālais sadalījums, līdzīgi kā tas tika novērots ar Fe aktivēto  $\text{LiBaF}_3$  kristālu pētījumos [10, 38]. Pārējām magnētiskā lauka orientācijām spektrs kopumā kļūst platāks, bet spektrāllīniju intensitātēm ir novērojama izteikta leņķiskā atkarība jau pie dažu grādu izmaiņām. Lai izskaidrotu šo spektru, tika izmantots jau iepriekšējos pētījumos izvirzītais F-centra modelis (skat. 5.4. attēlu). EPR spektri tika analizēti galvenajās kristalogrāfiskajās orientācijās  $\mathbf{B} \parallel [111]$ ,  $\mathbf{B} \parallel [110]$  un  $\mathbf{B} \parallel [100]$ , izmantojot sekojošu spina Hamiltoniāni:

$$\hat{H} = \mu_B \mathbf{B} \hat{g} \hat{\mathbf{S}} + \sum_{i=1}^8 \hat{\mathbf{S}} \hat{A}_i \hat{\mathbf{I}}_F + \sum_{j=1}^2 \hat{\mathbf{S}} \hat{A}_j \hat{\mathbf{I}}_{L_i} \quad (5.1)$$

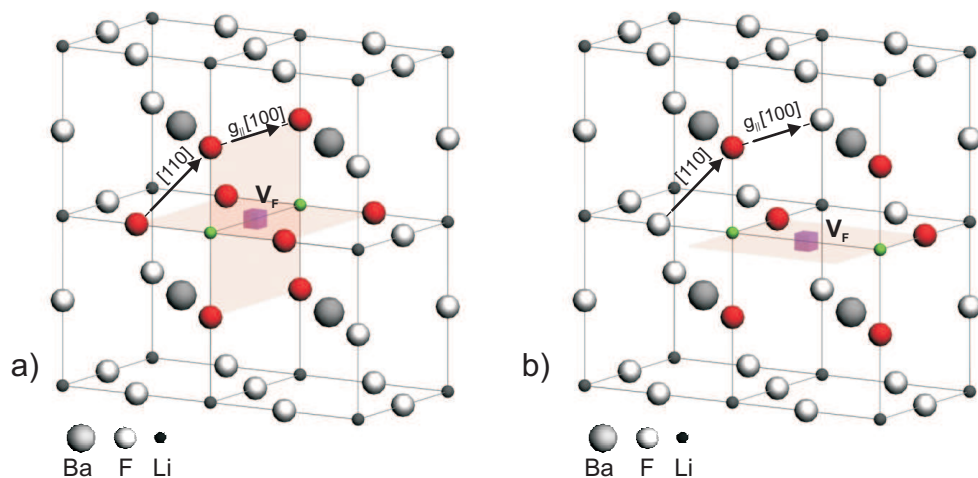
kur  $\hat{g}$ ,  $\hat{A}_i$  un  $\hat{A}_j$  ir attiecīgi  $g$ -tenzors un hipersīkstruktūras tenzori,  $\mu_B$  ir Bora magnetons. Dotais F-centra modelis izskaidro eksperimentālos spektrus ar elektrona spina  $S = 1/2$  hipersīksstruktūras mijiedarbību ar diviem ekvivalentiem  ${}^7\text{Li}$  kodoliem, kuru kodola spins  $I = 3/2$  un astoņiem  ${}^{19}\text{F}$  kodoliem ar  $I = 1/2$ . Hipersīkstruktūras parametri ir doti 5.2. tabulā.  $hs$  parametriem ir tradicionālā nozīme, tas ir,  $A_{\perp} = a - b$  un  $A_{\parallel} = a + 2b$ .

Modelētie spektri un to salīdzinājums ar eksperimentālajiem visām trim orientācijām  $\mathbf{B} \parallel [100]$ ,  $\mathbf{B} \parallel [111]$  un  $\mathbf{B} \parallel [110]$  ir parādīts 5.6. attēlā. Redzams, ka aprēķinātajiem spektriem ir laba sakritība ar eksperimentālo spektru līniju pozīcijām un intensitātēm. Jau iepriekšējos pētījumos tika izvirzīta hipotēze, ka F-centra  $g$ -tenzora ass ir virzīta  $\text{LiBaF}_3$  [100] kristalogrāfiskajā virzienā, taču netika precizētas  $g$ -faktora vērtības.

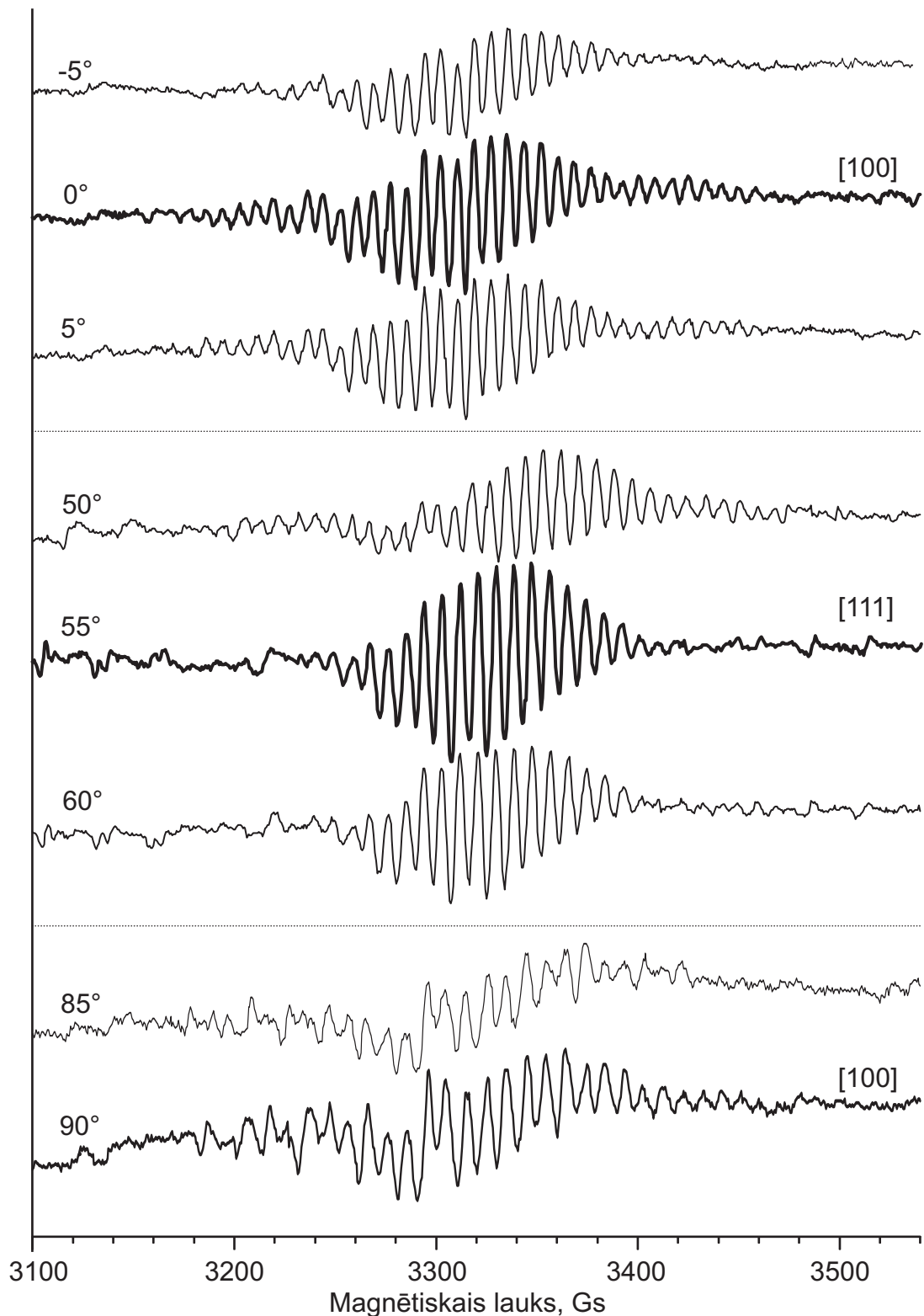
Konkrētajā pētījumā tiek ņemtas vērā  $g$ -faktora vērtības, kuras tika noteiktas MCD-EPR pētījumos [37].  $g$ -tenzora vērtības ir  $g_{\perp} = 1.980$  un  $g_{\parallel} = 1.955$ . Mūsu pētījumā  $hs$  konstante tiek uzskatīta par izotropu [1]\*. Iepriekš veiktajos pētījumos [10, 38] tika ņemta vērā  $hs$  konstantes anizotropā daļa līdzīgi, kā tas tika darīts  $\text{LiF}$  gadījumā [39]. Var secināt, ka mūsu teorētiskais aprēķins labi sakrīt ar izvirzīto F-tipa centra modeli  $\text{LiBaF}_3$  kristālā.

Izotops	I	a	b	skaits	apdzīvotība
$^{19}\text{F}$	1/2	3.58 3.12 [38]	0 0.20 [38]	8	100%
$^7\text{Li}$	3/2	0.89 0.91 [38]	0 0.03 [38]	2	92.5%

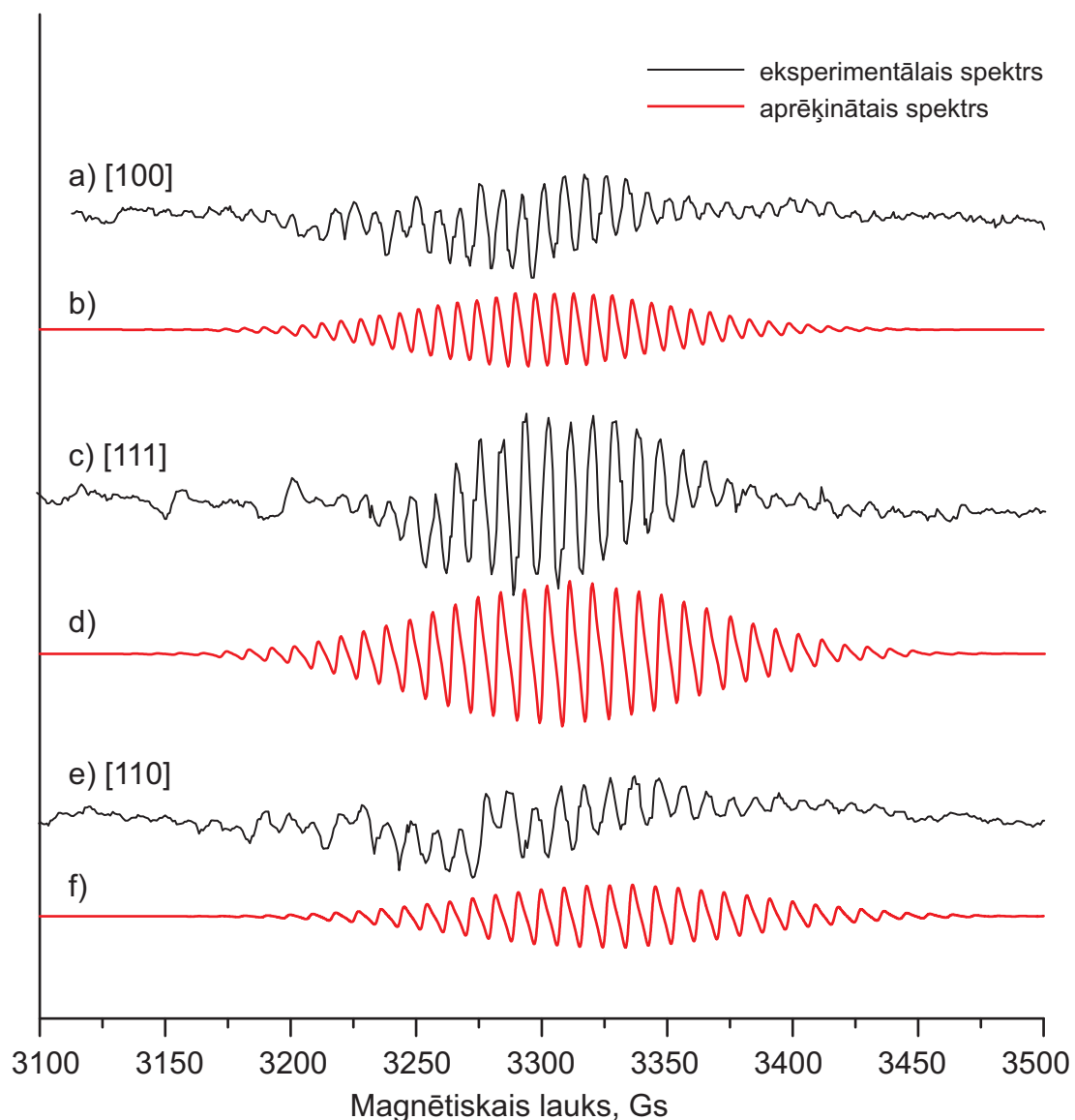
**5.2. tabula** F-tipa centra  $\text{LiBaF}_3$  kristālā raksturojošie parametri. hs mijiedarbības konstantes dotas mT. Tabulā dots arī salīdzinājums ar iepriekšējos darbos izmantotajiem hs parametriem.



**5.4. attēls.** F-centra modelis  $\text{LiBaF}_3$  kristālā.



**5.5. attēls.** Rtg-apstarota  $\text{LiBaF}_3$  kristāla eksperimentālie EPR spektri galvenajos kristalogrāfiskajos virzienos.



**5.6. attēls.** F-centra  $\text{LiBaF}_3$  kristālā teorētiski aprēķināto EPR spektru salīdzinājums ar eksperimentālajiem rezultātiem.

### 5.3. Radiācijas defektu EPR pētījumi $\text{LiYF}_4$ kristālos

Kristāls tika audzēts kā nomināli tīrs, tomēr neapstarotam paraugam 77 K temperatūrā ir novērojama intensīva līnija ar izteiku  $g$ -faktora anizotropiju. Šim spektram nav izteiktas sīkākas struktūras līdz ar to piejaukumdefekts ir grūti identificējams. Pēc apstarošanas spektrā parādījās intensīva līnija ar  $g \sim 2$ . Pie 77 K veiktie mēriumi ļāva izšķirt sīkāku spektra struktūru. Turpmākie šī centra EPR leņķisko atkarību mēriumi parādīja, ka spektrs sastāv no divām līdz četrām līnijām diapazonā no 3250 Gs līdz 3310 Gs pie 9.15 GHz mikrovilņu frekvences (skat. 5.7. attēlu). Orientācijā  $\mathbf{B} \parallel c$  ir novērojamas trīs līnijas, bet orientācijā  $\mathbf{B} \perp c$  ir novērojamas divas līnijas. Pārējās orientācijās ir novērojama papildus līniju šķelšanās. Līdzīga aina novērojama otrajā mēriju sērijā, kad magnētiskais lauks tika orientēts kristalogrāfiskajā plaknē  $ab$ , griežot kristālu ap  $c$  asi. Šajā orientācijā piejaukuma defekta spektram nav novērojama leņķiskā atkarība un tas atrodas pie 3495 Gs. Arī pārējās orientācijās tas nepārklājas ar radiācijas defektu. Līniju platumis pamatā paliek nemainīgs un ir aptuveni 6 Gs (skat. 5.8. attēlu). Izveidotais defekts ir stabils pie istabas temperatūras un tam nav novērojama sabrukšana, tam ilgstoši atrodoties diensgaismā. Cita tipa defektu EPR, kā piemēram [19], pēc apstarošanas pie 77 K temperatūras netika novēroti.

Radiācijas defekta spektru un to leņķiskās atkarības analīzei tika izmantots sekojošs spina Hamiltoniānis:

$$\hat{\mathcal{H}} = \mu_B \cdot \mathbf{B} \cdot \hat{g} \cdot \mathbf{S} + \sum_{i=1}^2 \mathbf{S} \cdot \hat{A} \cdot \mathbf{I}_i \quad (5.2)$$

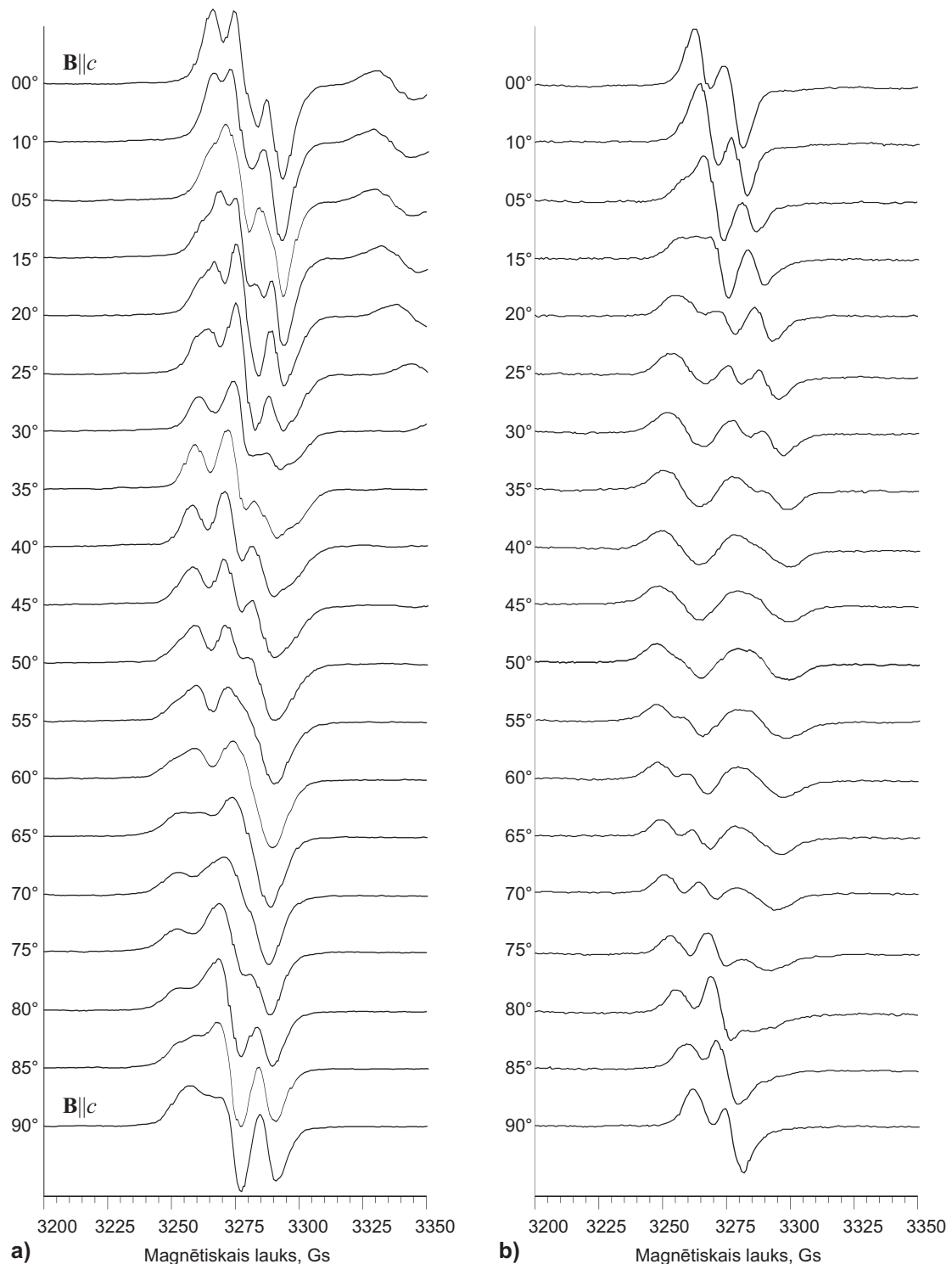
kur  $\mu_B$  ir Bora magnetons,  $\hat{g}$  – aksiāls  $g$ -tenzors,  $A$  – raksturo hipersīkstruktūras mijiedarbības konstanti starp nespārotu elektrona spinu  $S = 1/2$  un diviem fluora  $^{19}\text{F}$  kodoliem ar  $I = 1/2$ . Analīze tika veikta tuvinājumā, kad  $A$  ir izotropiska un vienāda abiem fluora kodoliem.

5.8. attēlā ir parādīts pēc (5.2) aprēķinātais spektrs orientācijai  $\mathbf{B} \parallel c$  (līkne  $b$ ), pieņemot, ka  $A = 10.0$  Gs. Rēķinā tika izmantoti sekojošas  $g$ -faktora vērtības:  $g_{\perp}=2.00$  un  $g_{\parallel}=1.975$ . No leņķisko atkarību mērijuviem tika noteikts, ka starp  $g$ -tenzora  $z$  asi un ceturtās kārtas simetrijas asi  $c$  leņķis ir  $\varphi = 65^\circ$ .

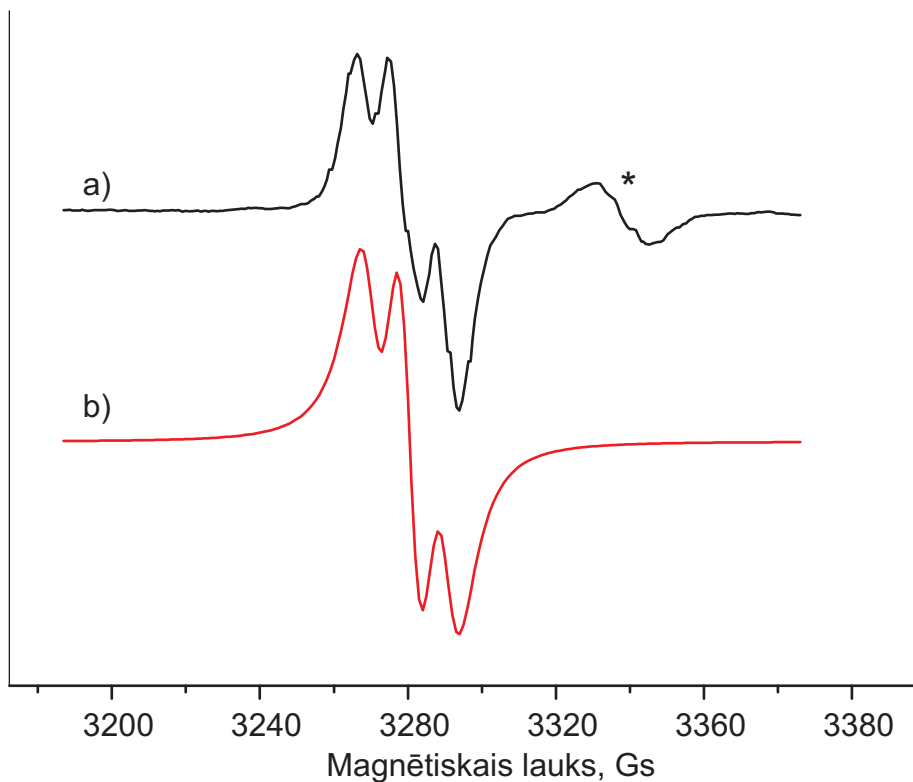
$g$ -faktora vērtības, kas ir mazākas par 2.0, ir raksturīgas radiācijas defektiem, kuros ir lokalizējies elektrons. Tādējādi iegūtie rezultāti liecina, ka radiācijas defekts verētu būt F-tipa centrs ar fluora vakancē lokalizētu elektronu. Novērojamais hipersīkstruktūras mijiedarbības līniju skaits norāda, ka nesapārotajam elektronam ir  $hss$  mijiedarbība ar diviem tuvāk esošajiem fluora kodoliem.

Pēc pieejamās informāciju par  $\text{LiYF}_4$  kristalogrāfisko struktūru fluora vakancei ir iespējami atšķirīgos attālumos esoši četri tuvākie fluora kaimiņu atomi (skat. 3.4. attēlu) [18]. Nemot vērā fluora spēcīgo  $hss$  mijiedarbības dabu, arī šīnī gadījumā tā tiek uzskatīta par galveno EPR novērojamo  $hss$  cēloni līdzīgi kā tas ir citos fluorīdos. Tā kā  $hss$  mijiedarbība ir atkarīga no starpkodolu attāluma  $\text{LiYF}_4$  kristālā, tad šīnī gadījumā tai nebūs tik

**5. REZULTĀTI UN DISKUSIJA** 5.3. Radiācijas defektu EPR pētījumi  $\text{LiYF}_4$  kristālos

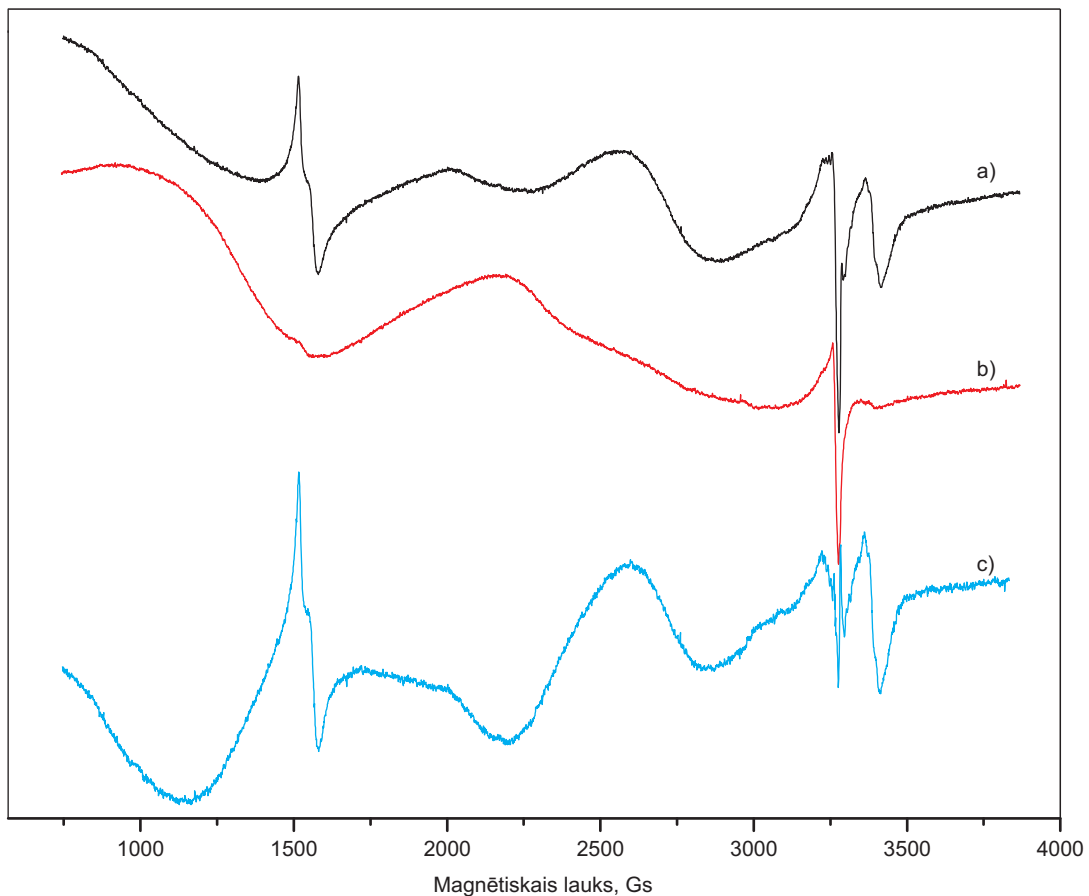


**5.7. attēls.** Eksperimentālie radiācijas defekta EPR spektri  $\text{LiYF}_4$  kristālā. a) Magnētiskā lauka orientācijai no  $\mathbf{B} \parallel c$  līdz  $\mathbf{B} \perp c$ , b) plaknē ab, griežot kristālu ap  $c$  asi.



**5.8. attēls.** Eksperimentālais a) un aprēķinātais b) EPR spektrs  $\mathbf{B} \parallel c$  orientācijai.

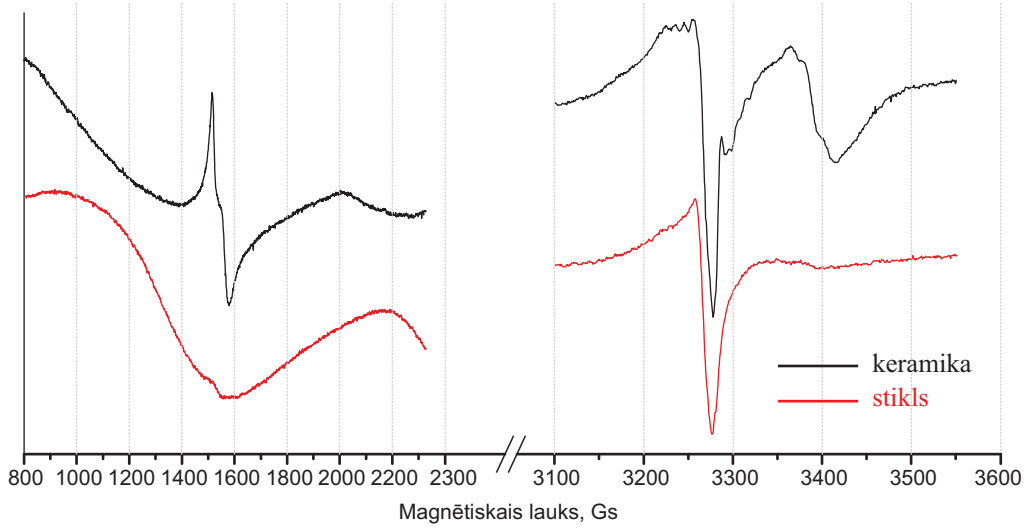
regulāra struktūra, kā tas tika novērots  $\text{LiBaF}_3$  un  $\text{LiF}$  kristālos [38,39], [1]\*. Ir iespējams, ka  $hss$  mijedarbe ar atsevišķiem kodoliem ir izteiktāka. Novērotā līnju leņķiskā atkarība spektros tika izskaidrota ar  $g$ -tenzora anizotropiju.  $\text{LiBaF}_3$  kristālā galvenā  $g$ -tenzora ass ir  $\text{Li}$  virzienā [38], [1]\*. Tas ir iespējams arī  $\text{LiYF}_4$  gadījumā, tā kā attālums starp  $\text{F}$  un  $\text{Li}$  šajā struktūrā ir visīsākais.  $\text{F-Li}$  virziens nesakrīt ar kristāla simetrijas asi  $c$ , bet atrodas leņķī  $\varphi$  pret to. Kristāla simetrijas dēļ struktūrā ir iespējami 4 magnētiski neekvivalenti  $\text{F}$ -centru  $g$ -tenzoru virzieni. Novērojamais līniju skaits un to leņķiskā atkarība norāda, ka šādi orientēti centri struktūrā pastāv. Līdz ar to rezultējošais EPR spektrs ir labi aprakstāms ar sekojošiem parametriem:  $g_{\parallel} = 2.00$ ,  $g_{\perp} = 1.975$ ,  $A = 10$  Gs.  $g$ -tenzora ass ir orientēta  $\varphi = 65^\circ$  grādos attiecībā pret ceturtās kārtas simetrijas asi  $c$ . Veiktie aprēķini parāda, ka izvirzītais modelis labi apraksta eksperimentāli novēroto EPR spektru (skat. 5.8. attēlu).



**5.9. attēls.** Eksperimentālie EPR spektri radiācijas centram: a)oksifluorīdu stiklā, b)oksifluorīdu stikla keramikā, c)tikai kristāliskajās fāzēs.

## 5.4. Radiācijas defektu EPR pētījumi OxFGC

Pirms apstarošanas paraugos EPR signāls netika novērots. Pēc apstarošanas abos paraugos tika novēroti radiācijas defektu EPR spektri (skat. 5.9. attēlu). Salīdzinot EPR spektrus stiklā un stikla-keramikā, var redzēt ievērojamas atšķirības: 1)intensīva līnija pie 1500 Gs, 2) divas platas joslas starp 2000 Gs un 3000 Gs, 3) divas platas līnijas pie 3250 Gs, viena no kurām daļēji aizsedz hipersīkstruktūras spektru ar  $g = 1.975$ . Asā līnija pie 3200 Gs ir kopīga abiem materiāliem, līdz ar to var pieņemt, ka tā ir raksturīga radiācijas defekta līnija silikātu stiklos. 5.10. attēlā ir tuvāk parādīta izteiktāko EPR līniju struktūra. Starp 3200 Gs un 3400 Gs redzamais hipersīkstruktūras spektrs ir novērojams tikai pie 77 K, tāpat tas nav stabils pie istabas temperatūras. Stikla keramikas spektrs satur gan stikla matricas EPR spektru, gan komponentes, ko dod materiālā izveidojušies kristalīti. Šie spektri tika atdalīti, no stikla-keramikas EPR spektra atņemot stikla spektru (skat. līkni c 5.9. attēlā).



**5.10. attēls.** Detalizēta radiācijas defektu EPR spektru aina.

Spektra daļa diapazonā no 3200 Gs līdz 3400 Gs norāda, ka tai ir cieša saistība ar kristāliskās fāzes parādīšanos stikla matricā. Šāda spektra cēlonis varētu būt radiācijas centra elektrona  $hss$  mijiedarbība ar apkārtnē esošiem atomu kodoliem ar nenualles kodola spinu, struktūra ir līdzīga tai, kas tika novērota mūsu iepriekš pētītajos fluorīdu kristālos. Iespējamās kristāliskās fāzes, nemot vērā sastāvu, ir šādas: oksīdi –  $\text{LiYSiO}_4$ ,  $\text{Y}_2\text{SiO}_5$ ,  $\text{Li}_2\text{SiO}_3$  un fluorīdi –  $\text{YF}_3$ ,  $\text{LiF}$  un  $\text{LiYF}_4$ . Par iespējamajām fluorīdu fāzēm stikla-keramikā liecina arī rentgendifraktometrijas (XRD) dati (A. Mišnevs). Maz ticams, ka šāds radiācijas defekts varētu izveidoties oksīdos, jo 99.962% skābekļa kodola spins ir nulle. Fluoram, savukārt, ir ļoti spēcīga  $hss$  mijiedarbība.  $g$ -faktors, kurš ir  $<2$  norāda, ka radiācijas defekts ir elektronu kērājcentrs. Tādi centri ir zināmie F-tipa centri, kas fluorīdu kristālos ir labi izpētīti [37–39], [1]\*.

Lai noteiktu F-centra tuvāko kaimiņu skaitu, jānosaka, kādās kristāliskās fāzēs ir iespējama šāds EPR spektrs.  $hss$  mijiedarbību šajā gadījumā var izsaukt noteikts fluora kodolu skaits  $N_F$ , itrija kodolu skaits  $N_Y$  un/vai litija kodoli  $N_{Li}$

Spektru analīzei var izmantot sekojošus spina Hamiltoniāņus:

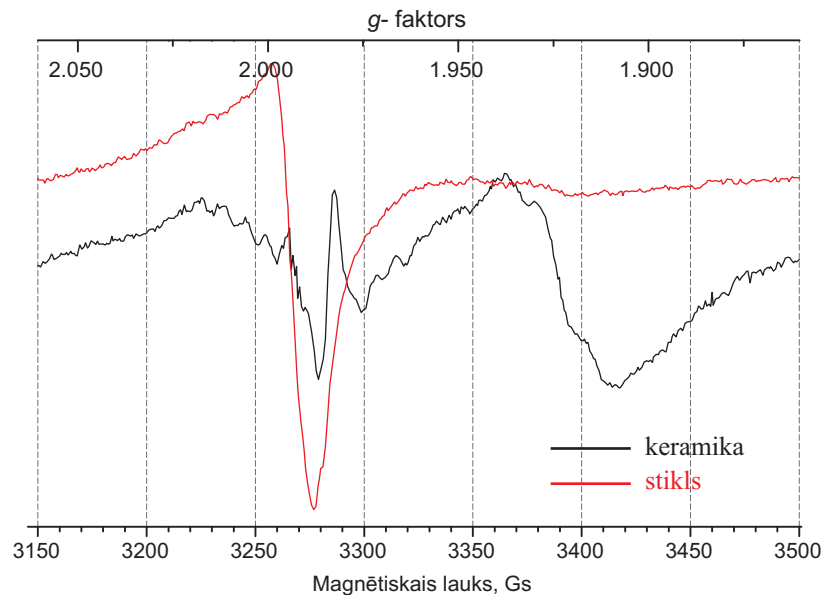
$$\hat{\mathcal{H}} = \mu S \hat{g} B + \sum_{i=1}^{N_F} S A_i^F I_i^F + \sum_{j=1}^{N_{Li}} S A_j^{Li} I_j^{Li} \quad (5.3)$$

$$\hat{\mathcal{H}} = \mu S \hat{g} B + \sum_{i=1}^{N_F} S A_i^F I_i^F + \sum_{j=1}^{N_Y} S A_j^Y I_j^Y \quad (5.4)$$

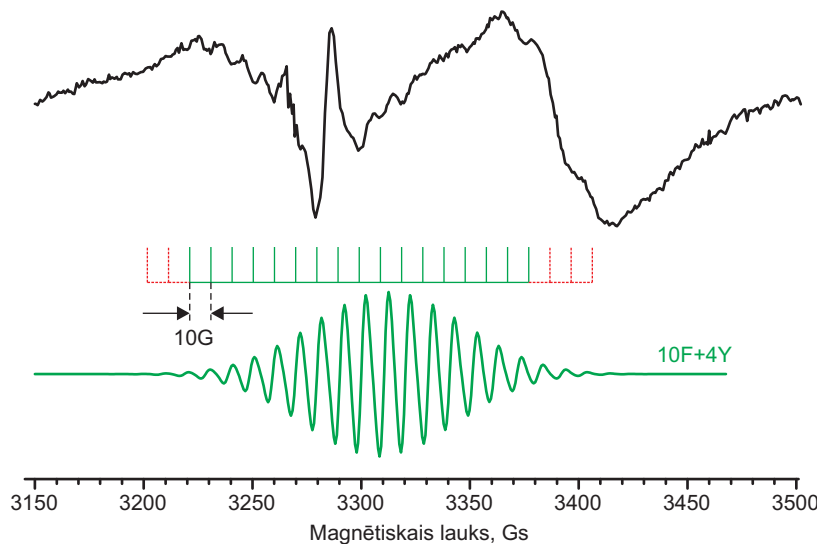
Kodolu spini iespējamā fluorīda komponentēm ir  $I^Y = 1/2$ ,  $I^F = 1/2$ ,  $I^{Li} = 3/2$ . Kodolu skaits ir apzīmēts attiecīgi ar  $N_F$ ,  $N_Y$  un  $N_{Li}$ .

Izotops	Dabiskā konc. %	kodola spins $I$	$A$ , MHz	Skaits
$^{19}\text{F}$	100	1/2	56.02	10
$^{89}\text{Y}$	100	1/2	23.025	4
$^7\text{Li}$	92.58	3/2	-	-

**5.3. tabula** *F*-tipa centra modeli raksturojošie parametri  $\text{YF}_3$  kristālā.



**5.11. attēls.** Detalizēts EPR hipersīkstruktūras spektrs *OxFGC*.



**5.12. attēls.** Aprēķinātais EPR spektrs  $F$ -tipa centram  $YF_3$  kristalītos.

Tā kā visas  $hss$  līnijas spektrā nav izšķiramas, tad precīzu to skaitu var paredzēt, tikai izvirzot konkrētu fluorīda kristālisko modeli. Kā visvarbūtīgākā šīnī gadījumā var būt  $YF_3$  kristāliskā fāze. Tājā ir iespējama elektrona  $hss$  mijiedarbība ar apkārtesošajiem  $N_F = 10$  kodoliem un  $N_Y = 4$  kodoliem. Tabulā 5.3. ir apkopoti spektram raksturīgie EPR parametri. Pēc šiem parametriem aprēķinātajam spektram spektrs ir redzama laba sakritība ar eksperimentāli novērojamo (skat. 5.12. attēlu). Citi gadījumi, kad paramagnētiskā centra tuvākajā apkārtnē būtu Li kodoli, ir mazāk ticami. Ja  $hss$  mijiedarbībā iekļautos divi litija kodoli, tad apkārtesošo fluoru skaitam būtu jāsamazinās līdz 3, kas nav raksturīgs fluorīdu kristāliem un nesaskan ar mūsu iepriekš veiktajiem pētījumiem tajos. Tādējādi turpmākajā analīzē Li kodolu  $hss$  mijiedarbība nav iekļauta.

## **6. nodaļa**

# **Secinājumi un tēzes**

### **6.1. Galvenie rezultāti**

- 1) Novērota un izskaidrota perturbēta  $\text{Cd}^+$  piejaukumdefekta *hss* mijiedarbība un tās leņķiskā atkarība  $\text{BaF}_2:\text{Cd}^+$  kristālā.
- 2) Novērota un precizēta F-tipa centra *hss* mijiedarbības un *g*-faktora anizotropija augstas tīrības pakāpes  $\text{LiBaF}_3$  kristālā.
- 3) Novērota un izskaidrota F-tipa centra *hss* mijiedarbība un *g*-faktora anizotropija tīrā  $\text{LiYF}_4$  kristālā.
- 4) Novērots elektrona *hss* mijiedarbībai ar  $^{19}\text{F}$  kodoliem raksturīgs spektrs oksifluorīdu stikla keramikā.

### **6.2. Secinājumi**

- 1) Neregulārajam  $\text{Cd}^+$  centram  $\text{BaF}_2$  kristāla struktūrā iztrūkst *hss* mijiedarbība ar vienu no tuvākajiem  $^{19}\text{F}$  kodoliem.
- 2) Augstas tīrības pakāpes  $\text{LiBaF}_3$  kristālā pilnībā ir novērojams ar rentgenstariem ierosināta F-tipa centra EPR spektrs. Teorētiskie aprēķini apstiprina sekojošu hipotēzi par centra *g*-faktora anizotropiju ar sekojošām komponentēm:  $g_{\parallel} = 1.955$  un  $g_{\perp} = 1.98$ .
- 3)  $\text{LiYF}_4$  novērojamais spektrs ir izskaidrojams ar F-tipa centra modeli, kurā fluora vakancē lokalizētajam elektronam ir *hss* mijiedarbība ar diviem tuvākajiem  $^{19}\text{F}$  kodoliem un aksiālu *g*-tenzoru ar komponentēm  $g_{\parallel} = 2.00$  un  $g_{\perp} = 1.975$ .
- 4) OxFGC paraugā novērotais EPR spektrs var tikt aprakstīts ar F-tipa centra modeli  $\text{YF}_3$  kristālā.

### 6.3. Aizstāvamās tēzes

- 1)  $\gamma$ -apstarotā  $\text{BaF}_2:\text{Cd}^+$  EPR neregulāro spektru nosaka viena fluora iztrūkums  $\text{Cd}^+$  piejaukuma defekta tuvākajā apkārtnē.
- 2) Rentgenapstarotā  $\text{LiYF}_4$  novērotā elektronu centra EPR spektru leņķiskā atkarība ir izskaidrojama ar centra  $g$ -faktora anizotropiju un EPR hipersīkstruktūru, kurā dominē mijiedarbība ar diviem fluora kodoliem.
- 3) Oksifluorīdu stikla keramikā novērotā radiācijas defekta EPR hipersīkstruktūras mijiedarbību var izskaidrot ar F-tipa centra modeli  $\text{YF}_3$  kristalītos.

### 6.4. Nobeigums

Darbā veiktie pētījumi ļāvuši izskaidrot ar jonizējoša starojuma radītu noteiktu defektu struktūru fluorīdu kristālu matricās. EPR leņķisko atkarību pētījumi gan istabas, gan zemajās temperatūrās tika veikti pielietojumos svarīgos scintilatoru kristālos:  $\text{BaF}_2$ ,  $\text{LiBaF}_3$ ,  $\text{LiYF}_4$ , kā arī oksifluorīdu stikla keramikā. Pēc apstarošanas ar rentgenstariem, vai citu jonizējošo starojumu, paramagnētiskie centri fluorīdu kristālos izveidojas, elektronam lokalizējoties anjona vakancē (F-tipa centrs) vai uz kāda piemaisījuma defekta. Fluorīdu gadījumā stabili radiācijas defekti pamatā ir vienelektrona centri ar  $S = 1/2$ , tāpēc nav novērojama papildus sīkstruktūra, kas rodas spina apakšlīmeņiem papildus sašķeloties kristāliskajā laukā. Paramagnētisko centru struktūru fluorīdu gadījumos ļauj noteikt spēcīgā hipersīkstruktūras mijiedarbību ar tuvākajiem fluora  $^{19}\text{F}$  kodoliem ar spinu  $I = 1/2$ . Šinī gadījumā novērojamo  $hss$  līniju skaits un intensitāšu sadalījums ļauj noteikt paramagnētiskā elektrona tuvākajā apkārtnē esošo fluoru atomu skaitu un mijiedarbības enerģiju.

$\text{BaF}_2:\text{Cd}^+$  kristāla gadījumā elektrons ir lokalizējies uz  $\text{Cd}^+$  jona, kurš ir aizvietojis bāriju. Spektros novērojamā  $hss$  liecina, ka centrs ir perturbēts, jo iztrūkst mijiedarbība ar vienu no apkārtesošo astoņu fluoru kodoliem. Veiktie aprēķini apstiprina izvirzīto hipotēzi par fluora vakanci. Jautājums par to, kas atrodas fluora vakances vietā, ir palicis atklāts. Citiem fluora homoloģiskās grupas elementiem Br un Cl ir nenuelles kodola spins un tam vajadzētu atsaukties uz novērojamajiem spektriem. Pastāv arī varbūtība, ka vakancē atrodas skābeklis, kuru ar EPR praktiski nevar identificēt.

$\text{LiBaF}_3$  un  $\text{LiYF}_4$  kristālos radiācijas rezultātā ir izveidojušies F-tipa krāsu centri.  $\text{LiBaF}_3$  gadījumā radiācijas centrs pie istabas temperatūras sabrūk dažu stundu laikā, taču  $\text{LiYF}_4$  gadījumā izveidotais centrs ir stabils. Pēc EPR spektros novērojamās  $hss$  mijiedarbības var noteikt F-centra elektrona tuvākos kaimiņus.  $\text{LiBaF}_3$  gadījumā tie ir astoņi  $^{19}\text{F}$  kodoli ar  $I^F = 1/2$  un divi  $^7\text{Li}$  kodoli ar  $I^{Li} = 3/2$ .  $\text{LiYF}_4$  gadījumā F-centra elektronam novērojama  $hss$  mijiedarbība ar diviem fluora kodoliem, kā arī izteikta  $g$ -faktora anizotropija.

Viens no interesantākajiem rezultātiem ir radiācijas centra novērošana oksifluorīdu stikla keramikā. Līdz šim šajos materiālos plaši pētīti ir tieši reto zemju piejaukumi, kamēr par pašvielas defektiem ziņu ir visai maz. Mūsu novērotajos EPR spektros redzams, ka radiācijas defekti OxFGC izveidojas gan stikla matricā, gan tajā esošajās kristāliskajās fāzēs. Novērotais EPR *hss* spektrs var tikt aprakstīts ar F-centra modeli  $\text{YF}_3$  kristālā. Šinī gadījumā gan *g*-faktoram, gan *hss* mijiedarbības konstantei ir izotropiskas vērtības. Precīzai radiācijas centra struktūras noteikšanai jāveic vēl papildus pētījumi ar optiskās spektroskopijas un rentgenstruktūralīzes metodēm.



# Izmantotā literatūra

- [1] Carel W. E. van Eijk, *Inorganic-scintillator development*, Nuclear Instruments and Methods in Physics Research A, **460**, (2001), p. 1.
- [2] A. Kerek, W. Klamra, L. O. Norlin, D. Novak, S. Westman, KTH, J. Lidberg, S. Mannervik, *Fast inorganic scintillators for beam diagnostics at extreme high vacuum*, Nuclear Science Symposium Conference Record, 2001 IEEE, **1**, (2001), p. 346.
- [3] M. Globus, B. Grinyov, Jong Kying Kim, *Inorganic Scintillators for Modern and Traditional Applications* (2005).
- [4] Дж. Верц, Дж. Болтон, Теория и практические приложение метода ЭПР, МИР (1975).
- [5] Frederick Seitz, *Color centers in alkali halide crystals. II*, Reviews of Modern Physics, **26**, (1954), p. 7.
- [6] В. Ф. Крутиков, Н. И. Силкин, В. Г. Степанов, ЭПР примесных центров Cd<sup>+</sup> в кристаллах гомологического ряда флуорита, Физика Твердого Тела, **18**, (1976), p. 2958.
- [7] U. Rogulis, J. Trokss, A. Veispals, I. Tale, P. Kulis, M. Springis, *ODMR of Cd impurity centers in  $\gamma$  irradiated BaF<sub>2</sub> crystals*, Radiation Effects and Defects in Solids, **135**, (1995), p. 361.
- [8] M. Springis, A. Veispals, P. Kulis, U. Rogulis, I. Tale, J. Trokss, *Optical and spectral properties of the Cd containing BaF<sub>2</sub>*, Proc. Int. Conf. on Inorganic Scintillators and Their applications, Scint95, (1996), p. 403.
- [9] E. Radzhabov, M. Kirm, *Triplet luminescence of cadmium centres in alkaline-earth fluoride crystals*, Journal of Physics: Condensed Matter, **17**, (2005), p. 5821.
- [10] U. Rogulis, V. Ogorodnik, I. Tale, A. Veispals, *EPR of radiation defects in LiBaF<sub>3</sub> crystals*, Radiation Effects and Defects in Solids, **157**, (2002), p. 699.

- [11] A. Bensalah, K. Shimamura, V. Sudesh, H. Sato, K. Ito, T. Fukuda, *Growth of Tm, Ho-codoped YLiF<sub>4</sub> and LuLiF<sub>4</sub> single crystals for eye-safe lasers*, Journal of Crystal Growth, **223**, (2001), p. 539.
- [12] C. M. Combes, P. Dorenbos, C. W. E. van Eijk, C. Pedrini, H. W. Den Hartog, J. Y. Gesland, P. A. Rodnyi, *Optical and scintillation properties of Ce<sup>3+</sup> doped LiYF<sub>4</sub> and LiLuF<sub>4</sub> crystals*, Journal of Luminescence, **71**, (1997), p. 65.
- [13] J. P. Sattler, J. Nemarich, *Electron paramagnetic resonance spectra of Nd<sup>3+</sup>, Dy<sup>3+</sup>, Er<sup>3+</sup> and Yb<sup>3+</sup> in lithium yttrium fluoride*, Physical Review B, **4**, (1971), p. 1.
- [14] Vishwamittar, S. P. Puri, *Interpretation of the crystal-field parametres in rare-earth substituted LiYF<sub>4</sub> crystal*, Journal of Physics C: Solid State Physics, **7**, (1974), p. 1337.
- [15] T. Yosida, M. Yamaga, D. Lee, T. P. J. Han, H. G. Gallagher, B. Henderson, *The electron spin resonance and optical spectra of Ce<sup>3+</sup> in LiYF<sub>4</sub>*, Journal of Physics: Condensed Matter, **9**, (1997), p. 3733.
- [16] A. Bensalah, M. Nikl, A. Vedda, K. Shimamura, T. Satonaga, H. Sato, T. Fukuda, G. Boulon, *X-ray induced color centres in pure and doped LiYF<sub>4</sub> and LiLuF<sub>4</sub> single crystals*, Radiation effects and defects in Solids, **157**, (2002), p. 563.
- [17] G. M. Renfro, L. E. Halliburton, W. A. Sibley, R. F. Belt, *Radiation effects in LiYF<sub>4</sub>*, Journal of Physics C: Solid State Physics, **13**, (1980), p. 1941.
- [18] W. Hayes, M. Yamaga, D. J. Robbins, B. Cockayne, *Optical detection of exciton EPR in LiYF<sub>4</sub>*, Journal of Physics C: Solid State Physics, **13**, (1980), p. L1001.
- [19] M. Herget, A. Hofstaetter, A. Scharmann, *EPR of the F<sub>2</sub><sup>-</sup> centre in LiYF<sub>4</sub>*, Phys. Stat. Sol. (b), **127**, (1985), p. K83.
- [20] М. В. Никанович, А. П. Шкадаревич, Ю. С. Типенко, Д. С. Умрейко, Исследование радиационных дефектов в кристаллах LiYF<sub>4</sub>, Журнал прикладной спектроскопии, **58**, (1993), p. 187.
- [21] М. В. Никанович, А. П. Шкадаревич, Ю. С. Типенко, С. В. Никитин, Н. И. Силкин, Д. С. Умрейко, Радиационные центры окраски в кристалле LiLuF<sub>4</sub>, Физика Твердого Тела, **30**, (1988), p. 1861.
- [22] K. J. Guedes, K. Krambrock, J. Y. Gesland, *Identification of trivalent rare earth impurities in YF<sub>3</sub>, LuF<sub>3</sub> and LiYF<sub>4</sub> by electron paramagnetic resonance*, Journal of Alloys and Compounds, **344**, (2002), p. 251.

- [23] L. Dimitročenko, *Komplekso fluorīdu monokristālu un nanokristālus saturošas stikla keramikas iegūšana un to optiskās īpašības*, Disertācija, Latvijas Universitāte (2007).
- [24] Yu Hua, Zhao Li-Juan, Meng Jie, Liang Qin, Yu Xuan-Yi, Tang Bai-Quan, Xu Jing-Jun, *Nanocrystal formation and structure in oxyfluoride glass ceramics*, Chinese Physics, **14**(9), (2005), p. 1799.
- [25] Zhang Li-Yan, Xu Shi-Qing, Hu Li-Li, *Intense green upconversion luminescence in  $Er^{3+}$ : $Yb^{3+}$  codoped fluorophosphate glass ceramic containing  $SrTe_5O_{11}$  nanocrystals*, Chinese Physics Letters, **24**(10), (2007), p. 2945.
- [26] Zhihua Li, Longzhen Zheng, Lunling Zhang, Leyan Xiong, *Synthesis, characterization and upconversion emission properties of the nanocrystals of  $Yb^{3+}$ / $Er^{3+}$ -codoped  $YF_3$ - $YOF$ - $Y_2O_3$  system*, Journal of Luminescence, **126**, (2007), p. 481.
- [27] Daqin Chen, Yuansheng Wang, Yunlong Yu, En Ma, Zhongjian Hu, *Spectroscopic properties of  $Er^{3+}$  ions in transparent oxyfluoride glass ceramics containing  $CaF_2$  nano-crystals*, Journal of Physics: Condensed Matter, **17**, (2005), p. 6545.
- [28] V. D. Rodriguez, V. K. Tikhomirov, J. Mendez-Ramos, A. B. Seddon, *The shape of the  $1.55\ \mu m$  emission band of the  $Er^{3+}$  -dopant in oxyfluoride nanoscaled glass-ceramics*, Europhysics Letters, **69**, (2005), p. 128.
- [29] A. Sarakovskis, L. Dimitročenko, A. Misnevs, U. Rogulis, M. Springis, *Upconversion process in erbium doped lithium fluoride bulk crystal, lithium borate glass and glass ceramics*, Journal of Physics: Conference series, **93**, (2007), p. 012041.
- [30] Zhang Jun-Jie, Kawamoto Yoji, Dai Shi-Xun, *Infrared-to-green upconversion luminescence and mechanism of  $Ho^{3+}$ ,  $Nd^{3+}$  and  $Yb^{3+}$  ions in oxyfluoride glass ceramics*, Chinese Physics, **13**(7), (2004), p. 1156.
- [31] S. Gonzalez-Perez, F. Lahoz, J. M. Caceres, V. Lavin, I. da Silva, J. Gonzalez-Platas, I. R. Martin, *Energy transfer in  $Pr^{3+}$ - $Yb^{3+}$  codoped oxyfluoride glass ceramics*, Optical materials, **29**, (2007), p. 1231.
- [32] A. Sen, S. L. Chaplot, R. Mittal, *Vibrational and thermodynamic properties of high-pressure phases in  $LiYF_4$* , ArXiv Condensed Matter e-prints, cond-mat/0406427.
- [33] K. Rotereau, Ph. Daniel, A. Desert, J. Y. Gesland, *The high-temperature phase transition in samarium fluoride,  $SmF_3$ : structural and vibrational investigation*, Journal of Physics: Condensed Matter, **10**, (1998), p. 1431.

- [34] Michael J. Mombourquette, John A. Weil, *Operating instructions for computer program EPR-NMR* (2004).
- [35] Stefan Stoll, Arthur Schweiger, *EasySpin, a comprehensive software package for spectral simulation and analysis in EPR*, Journal of Magnetic Resonance, **177**, (2005), p. 390.
- [36] P. Kulis, I. Tale, M. Springis, U. Rogulis, J. Trokss, A. Veispals, H.-J. Fittig, *F-type centres in LiBaF<sub>3</sub> crystals*, Radiation Effects and Defects in Solids, **149**, (1999), p. 97.
- [37] U. Rogulis, J.-M. Spaeth, I. Tale, M. Nikl, N. Ichinose, K. Shimamura, *Magneto-optical studies of defects and recombination luminescence in LiBaF<sub>3</sub>*, Radiation Measurements, **38**, (2004), p. 663.
- [38] V. Ogorodnik, U. Rogulis, I. Tale, A. Veispals, *EPR of F-type centres in LiBaF<sub>3</sub>*, Latvian Journal of Physics and Technical Sciences, **2**, (2004), p. 62.
- [39] R. Kaplan, P. J. Bray, *Electron-Spin Paramagnetic Resonance Studies of Neutron-Irradiated LiF*, Physical Review, **129**(5), (1963), p. 1919.

# Autora publikāciju saraksts

- [1\*] A. Fedotovs, E. Elsts, U. Rogulis, A. Gulans, I. Tale, M. Nikl, N. Ichinose, K. Shimamura, *EPR hyperfine structure of F-type centres in pure LiBaF<sub>3</sub> crystal*, Physica Status Solidi (c), **4/3**, (2007), p. 1284.
- [2\*] L. Dimitrocenko, U. Rogulis, A. Veispals, M. Springis, P. Kulis, A. Fedotovs, A. Misnev, *Luminescence of Ce-doped borate-oxyfluoride glass ceramics*, Physica Status Solidi (c), **4/3**, (2007), p. 753.
- [3\*] A. Fedotovs, L. Dimitrocenko, U. Rogulis, *EPR of radiation defects in LiYF<sub>4</sub> crystal*, Proceedings of the International Conference on Inorganic Scintillators and their Industrial Applications SCINT2005, **1**, (2006), p. 162.
- [4\*] A. Fedotovs, E. Elsts, U. Rogulis, I. Tale, M. Nikl, N. Ichinose, K. Shimamura, *EPR of F type centres in LiBaF<sub>3</sub>*, Proceedings of the International Conference on Inorganic Scintillators and their Industrial Applications SCINT2005, **1**, (2006), p. 156.
- [5\*] A. Fedotovs, U. Rogulis, *Perturbed Cd centre in BaF<sub>2</sub> crystal*, Latvian Journal of Physics and Technical Sciences, **3**, (2005), p. 62.
- [6\*] A. Fedotovs, U. Rogulis, L. Dimitrocenko, *Electron paramagnetic resonance studies of radiation defects in LiYF<sub>4</sub> crystal*, Latvian Journal of Physics and Technical Sciences, **6**, (2006), p. 60.
- [7\*] U. Rogulis, A. Veispals, L. Dimitrocenko, M. Springis, P. Kulis, A. Fedotovs, *Optical properties of Ce-doped oxifluoride composites*, Latvian Journal of Physics and Technical Sciences, **2**, (2006), p. 111.



# Dalība konferencēs

- [1] L. Dimitrocenko, U. Rogulis, A. Veispals, M. Springis, P. Kulis, A. Fedotovs, *Luminescence of Ce-doped borate-oxyfluoride glass ceramics*, Abstr. of EURODIM2006, Milano, Italy, p. 136.
- [2] E. Elsts, A. Fedotovs, U. Rogulis, A. Guļāns, I. Tāle, *F-tipa centru EPR LiBaF<sub>3</sub> kristālā*, LU CFI 22. zinātniskās konferences tēzes, lpp. 8.
- [3] A. Fedotovs, L. Dimitročenko, U. Rogulis, *Radiācijas defektu EPR LiYF<sub>4</sub> kristālos*, LU CFI 22. zinātniskās konferences tēzes, lpp. 7.
- [4] A. Fedotovs, L. Dimitrocenko, U. and Rogulis, *EPR of radiation defects in LiYF<sub>4</sub> crystal*, Abstr. of SCINT2005, Alushta, Ukraine, p. 62.
- [5] A. Fedotovs, E. Elsts, U. Rogulis, A. Gulans, I. Tale, M. Nikl, N. Ichinose, K. Shimamura, *EPR hyperfine structure of F-type centres in pure LiBaF<sub>3</sub> crystal*, Abstr. of EURODIM2006, Milano, Italy, p. 340.
- [6] A. Fedotovs, E. Elsts, U. Rogulis, I. Tale, M. Nikl, N. Ichinose, K. Shimamura, *EPR of F type centres in LiBaF<sub>3</sub>*, Abstr. of SCINT2005, Alushta, Ukraine, p. 60.
- [7] A. Fedotovs, V. Pankratov, L. Grigorjeva, D. Millers, U. Rogulis, *EPR spectra of radiation defects in YVO<sub>4</sub> crystals*, Abstr. of SCINT2007, Winston-Salem, USA, p. 143.
- [8] A. Fedotovs, V. Pankratovs, L. Grigorjeva, D. Millers, U. Rogulis, *Tīru un aktivētu YVO<sub>4</sub> kristālu EPR spektri*, LU CFI 23. zinātniskās konferences tēzes, lpp. 38.
- [9] A. Fedotovs, U. Rogulis, *Cd piejaukuma defektu EPR BaF<sub>2</sub> kristālos*, LU CFI 19. zinātniskās konferences tēzes.
- [10] A. Fedotovs, U. Rogulis, A. Šarakovskis, L. Dimitročenko, *Radiācijas defektu EPR fluorīdu kristālos un oksifluorīdu stikla keramikā*, LU CFI 24. zinātniskās konferences tēzes, lpp. 16.
- [11] A. Fedotovs, U. Rogulis, L. Dimitročenko, *Radiācijas defektu EPR LiYF<sub>4</sub> kristālā*, LU CFI 21. zinātniskās konferences tēzes, lpp. 9.

- [12] A. Fedotovs, U. Rogulis, L. Dimitrocenko, *EPR of intrinsic defects in LiYF<sub>4</sub> crystal*, Abstr. of SCINT2007, Winston-Salem, USA, p. 104.
- [13] A. Fedotovs, U. Rogulis, L. Dimitrocenko, *Electron paramagnetic resonance studies of radiation defects in LiYF<sub>4</sub> crystal*, Abstr. of LUMDETR2006, Lviv, Ukraine, p. 190.
- [14] A. Fedotovs, U. Rogulis, A. Sarakovskis, L. Dimitrocenko, *EPR of radiation defects in lithium-oxyfluoride glass ceramics*, Abstr. of ICDIM2008, Aracaju, Brazil.
- [15] U. Rogulis, A. Veispāls, L. Dimitročenko, M. Spriņģis, P. Kūlis, A. Fedotovs, *Optical properties of Ce-doped oxyfluoride composites*, 2. Latvijas konferences “Funkcionālie materiāli un nanotehnoloģijas” tēzes, Rīga, lpp. 61.

# Pateicība

Nobeigumā es vēlos izteikt sirsnīgu pateicību saviem kolēģiem Cietvielu Fizikas Institūtā: Uldim Rogulim, Anatolijam Šarakovskim, Mārim Spriņģim, Laurim Dimitročenko, Jānim Trokšam par veiksmīgo zinātnisko sadarbību un nenovērtējamu palīdzību rezultātu tapšanā, kā arī kolēģiem Dzintaram, Ilzei, Ļenai un pārējiem maniem tuviem draugiem par atbalstu un būšanu kopā akadēmiskajos priekos un bēdās. Īpaša pateicība, protams, projektēšanas birojam Graf-X, īpaši Rutai Krūskopai, Ilzei, Mārtiņam, nemaz nepiemirstot par Dagniju!

Šis zinātniskais darbs ir tapis, pateicoties Eiropas Sociālā Fonda (ESF) finansiālajam atbalstam.



